

UDC 621.45.034

航空宇宙技術研究所資料

TECHNICAL MEMORANDUM OF NATIONAL AEROSPACE LABORATORY

TM-265

FJR エンジン用高圧形セクタ燃焼器
模型の実験 (I)

鈴木邦男・石井浅五郎

1974年10月

航空宇宙技術研究所
NATIONAL AEROSPACE LABORATORY

FJRエンジン用高圧形セクタ燃焼器 模型の実験(Ⅰ)*

鈴木邦男** 石井浅五郎**

概要

FJR 710/10 エンジンを対象にした高圧燃焼器のセクタ模型（正確には箱形模型）を製作し、大気圧燃焼実験を行なった。この実験目的は、アニラ形ではむずかしい燃焼器内部の様子を調べること、およびセクタ模型の簡単に追加工や改造のできる利点を生かし各種因子の影響を調べることである。はじめ原型の性能測定を行ない、のち、いくつかの試みを実験したそれらの結果を示す。

I. はしがき

ジェットエンジンのアニラ形燃焼器模型の実験では、実機燃焼器の設計に直接役立つ資料の得られる利点をもつが、反面、燃焼器内部の観察や測定がむずかしく、性能の解析やその向上のための資料を得ることがむずかしい。また、燃焼器模型の製作・改造を行なうことも容易でない。このような点を考慮してセクタ模型（正確には箱形分割模型）を製作し、大気圧燃焼実験を行なった。

燃焼器の基本形を、通商産業省工業技術院の大型工業技術研究開発制度の一テーマ：航空機用ジェットエンジンの研究開発の一環として設計した一次試作用アニラ形燃焼器模型；呼称CC20¹⁾ にとり、これを燃料噴射弁のピッヂ円で展開した二次元模型とした。燃料噴射弁はデアルオリフィスのうず巻形で4個用い、実験前半に燃焼実験専用として試作したCC10ノズル、実験後半に実機相当の流量特性をもつCC20₋₁ ノズルの2種を用いた。使用した燃料は、ジェット燃料Jet A-1である。

実験目的として、燃料噴射弁まわりのスワーラの燃焼特性に及ぼす影響を主に考えたため、スワーラとしてJR-系燃焼器の研究に使用したもの、および本燃焼器用に試作したものを合せて11種類を用いた。その他、一次燃焼領域のライナ空気孔の有・無の影響、

ライナ冷却スリットからの冷却空気の影響、燃料噴射弁のプライマリノズルから空気またはプロパンガスを噴射した影響、噴射弁とスワーラの軸方向の相対位置をかえた影響などを調べた。

2. 燃焼器模型

燃焼器模型は、FJR 710/10 エンジンを対象にした一次試作用アニラ形燃焼器模型CC20 の $\frac{1}{4}$ 分割模型である。これから、本燃焼器模型をCC20S-1と呼ぶ。これは、箱形燃焼器模型で、その二次元化の方針として、燃焼器断面形状をアニラ形のそれに合せ、燃焼噴射弁のピッヂ円を基準に、円弧を直線に展開した形とした。アニラ形燃焼器との相違点は、次のようなものである。

- (1) 燃焼器入口デフューザ流路断面積のアニラ形の外側／内側に対応する上側／下側の比率は、一致しない。この比率は、CC20Sのほうが小さくなる。
- (2) アニラ形では、入口デフューザ部分にストラットが入っているが、CC20Sケーシングでは、これを省略した。
- (3) アニラ形では、ライナ止めピンおよび点火プラグ座に翼形のフェアリングをついているが、CC20Sでは、ライナ止めピンの代りに薄板による支持を行ない、また、点火プラグ座がないため、フェアリングはついていない。
- (4) CC20Sの下側ケーシングのデフューザ出口から下流側で、アニラ形といくぶん形状がことなっているが、これは性能的な面への影響はほとんどないと思われたため、製作の容易さを考慮し、水平にしたことによる。

図1は、アニラ形のCC20Sとセクタ模型CC20Sの断面形状を比較したものである。燃料噴射弁は、ピッヂ80mmで4個並べた。図2はCC20Sの主要寸法を示す。図3は、CC20Sの側壁を取り外した状態である。図3の左側が空気入口、右側が計測ダクトで7本の4点式熱電対がつけてある。上、下ケーシングに

* 昭和49年7月25日受付

** 原動機部

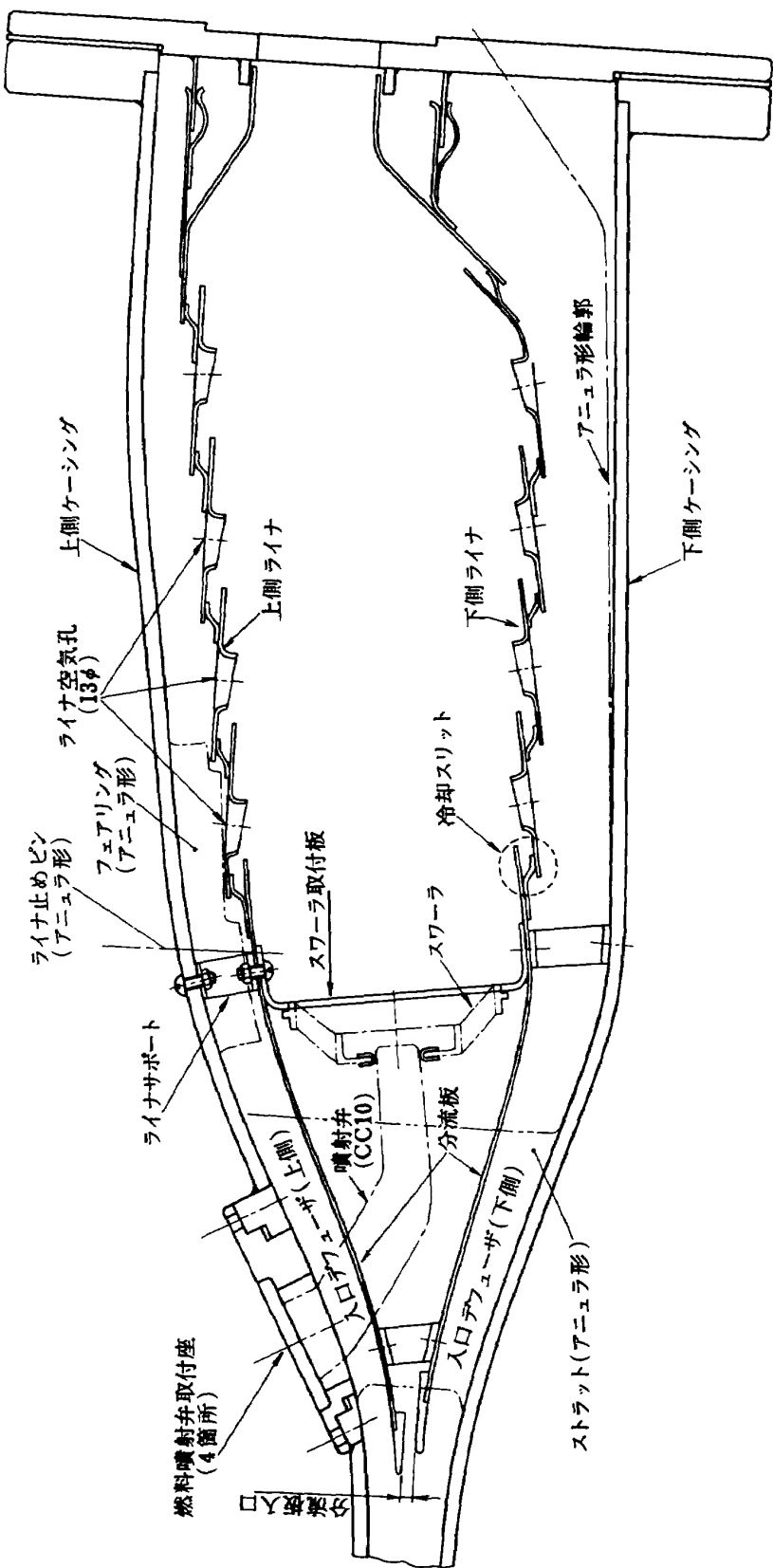


図 1 セクタ燃焼器とアニュラ形燃焼器の比較

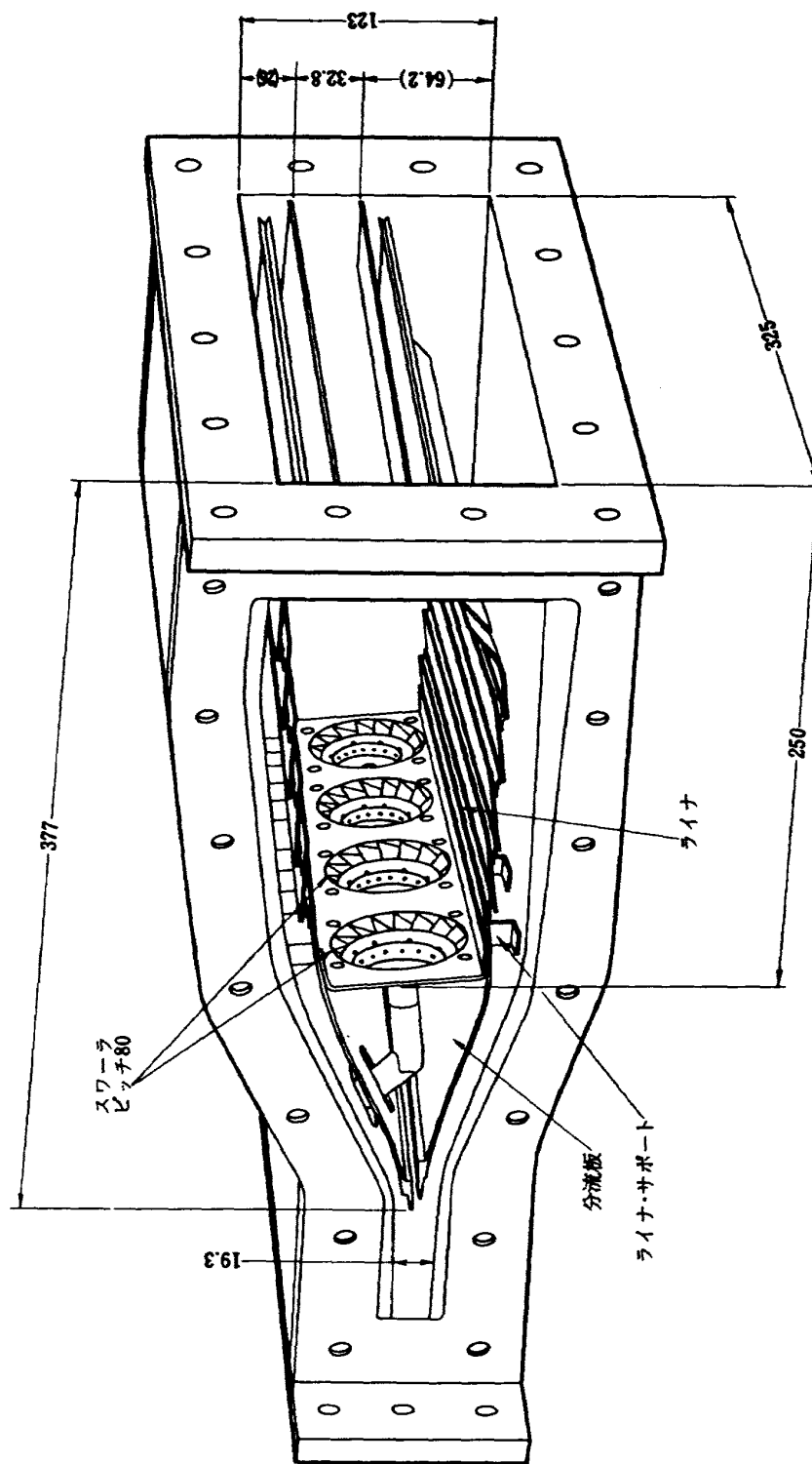


図 2 セクタ燃焼器 (CC20S) 主要寸法

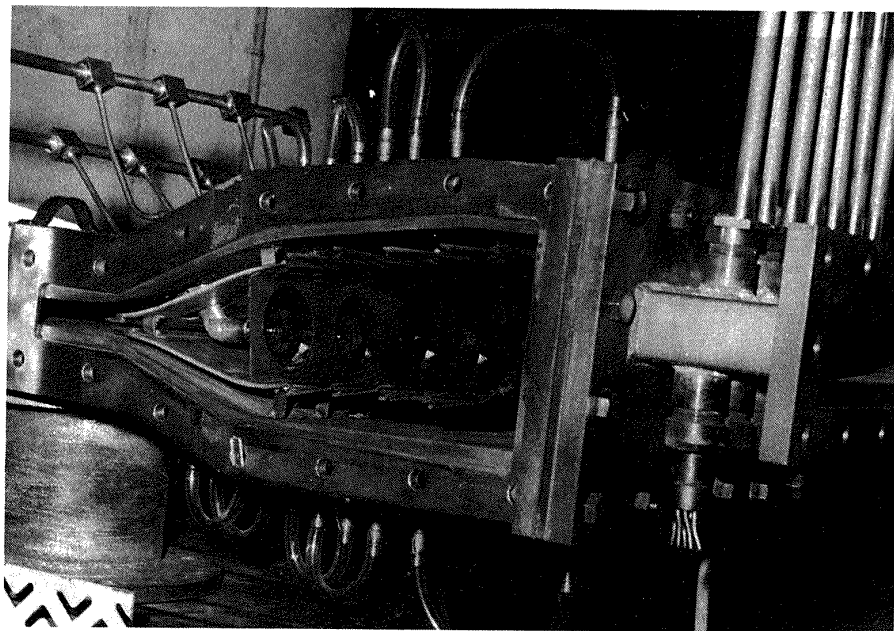


図 3 セクタ燃焼器模型CC20Sの側壁を取り外した状態

ある、ビニール管の盲の箇所は、壁圧孔である。

2.1 燃焼器ライナ

ライナの基本形は、アニュラ形の呼称CC20₋。からとった。空気孔は、すべて13mmφで主流方向に4列、アニュラ形の円周方向に対応する横方向に8列、上側、下側ライナともほぼ対称位置にあけた。空気孔位置は、アニュラ形の呼称CC10²⁾のそれと同一である。ライナ冷却スリットは、第1列空気孔の上流側1箇所、各空気孔の中間に3箇所、第4列空気孔下流側に1箇所の計5箇所とし、冷却スリット有効高さ3.0mm、冷却空気流入孔として2.0mmφキリ孔をピッチ3.0mmとあけた。スワーラ取付板の冷却は行なっていない。ライナの主要寸法を図4に、外観写真で図5に示す。

2.2 スワーラ

スワーラは、JR系エンジンのものとほぼ同一で、いくつかのものは、JR系燃焼器模型で使用したものを使用した。³⁾ CC20S用に試作したものもいくつかある。実験に供したスワーラをまとめて表1に示す。スワーラ有効外径は52～56mmφで、同一外径のものでも盲リング外径をかえたものがある。盲リング外径のスワーラ性能に及ぼす影響については、プロパンガスを用いた保炎テストを行ない、火炎形状を調べてスワーラ単体についての保炎性能を推定しておいた。

保炎テストの結果、適当でないと判断された盲リング外径のものも含まれている。旋回角は呼称45°、1種のみ47.5°で、これは、旋回羽根植込み角度をスワーラ中心軸からとった値である。旋回羽根の板厚は、はじめ製作したものが0.4mm、あとになって、精密鋳造による製作を考慮して1.0mmとした。この板厚の保炎性能に及ぼす影響は、t=0.4～1.0mmの間では、ほとんどないようである。図6にスワーラの例を示す。

2.3 燃料噴射弁

燃料噴射弁は、前半の実験で第1報と同じCC10ノズル、後半の実験にCC20₋₂ノズルを用いた。⁴⁾ この流量-圧力特性の比較を図7に示す。設計噴霧角は、92°～95°と共にほぼ同じであるが、燃料噴射圧力を低くするとCC10ノズルでは噴霧角が広がるのに対し、CC20₋₂ノズルでは逆に狭くなる、という差異がみられた。ノズル外形の差異として、ノズル先端の直径が、CC10ノズルの12.8mmφに対し、CC20₋₂ノズルの17.0mmφとことなり、取付フランジの形状もことなっているため、ケーシングの燃料噴射弁取付座にアダプタをつけて両方のノズルが使用できるようにした。また、スワーラについても、燃料噴射弁取付座(カラー)の直径を17.2mmφとし、13.0mmφのアダプタを点溶接して両種ノズルの使用を考慮した。

図8にCC10およびCC20₋₂ノズルの外観を示す。

有効外径 mm	旋回羽根 板厚 mm	旋回角 deg	盲リング 外径 mm	摘要
5.2	1.0	45	39.5	盲リング内 1.6-1.5φ キリ, 羽根植込部内 1.6-1.5φ キリ
5.2	1.0	45	41.0	盲リング内 1.6-1.5φ キリ, 羽根植込部内 1.6-1.5φ キリ
5.4	0.4	45	39.0	羽根植込部内 1.6-1.5φ キリ
5.4	1.0	45	42.5	盲リング内 8-1.5φ キリ, 羽根植込部内 1.6-1.5φ キリ
5.5	0.5	45	40.0	羽根植込部内 1.6-1.5φ キリ
5.5	0.4	45	41.5	羽根植込部内 1.6-1.5φ キリ
5.5	0.5	45	42.0	盲リング内 8-1.5φ キリ, 羽根植込部内 1.6-1.5φ キリ
5.5	1.0	45	42.5	盲リング内 8-1.5φ キリ, 羽根植込部内 1.6-1.5φ キリ
5.5	0.4	45	43.0	盲リング内 8-切欠, ボス部内計 24-1.5φ キリ
5.6	1.0	47.5	42.5	盲リング内 8-1.5φ キリ, 羽根植込部内 1.6-1.5φ キリ
5.6	0.4	45	43	盲リング内 8-切欠, ボス部内計 24-1.5φ キリ

表 1 供試スワーラ

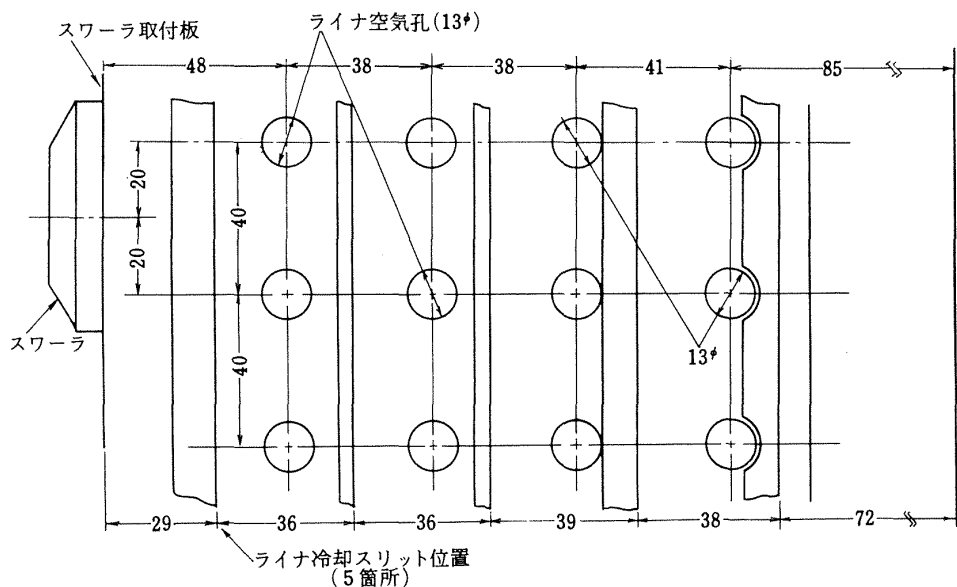


図 4 CC20S-1 ライナ空気孔主要寸法(上, 下ほぼ対称)

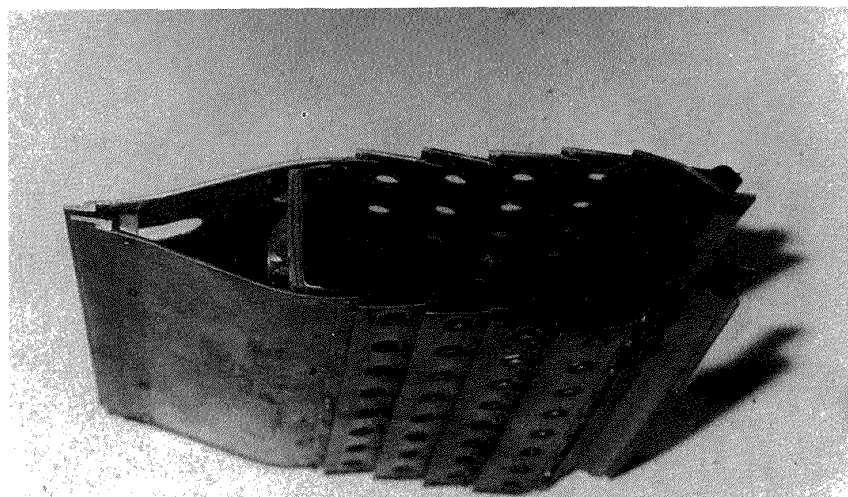


図 5 CC20S-1 ライナ

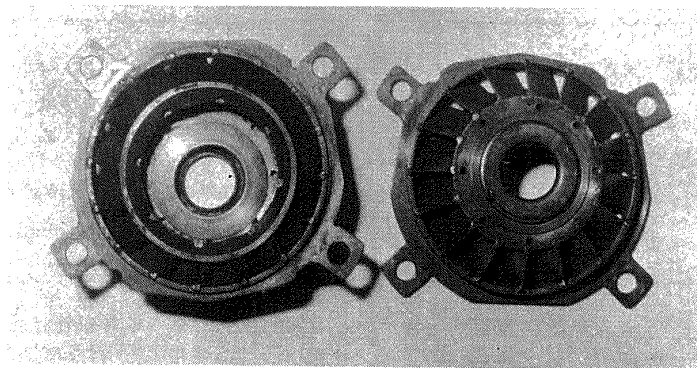


図 6 (a) スワーラ: CC10 ノズル用 (55φ/43φ 盲付)

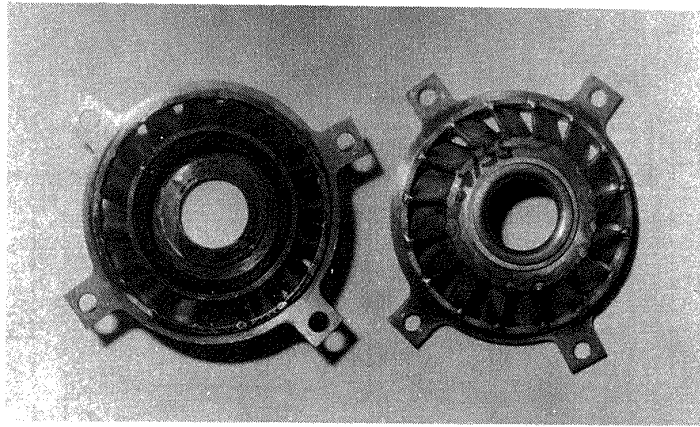


図 6 (b) スワーラ: CC20-2 ノズル用 (55φ/42.5φ 盲付)

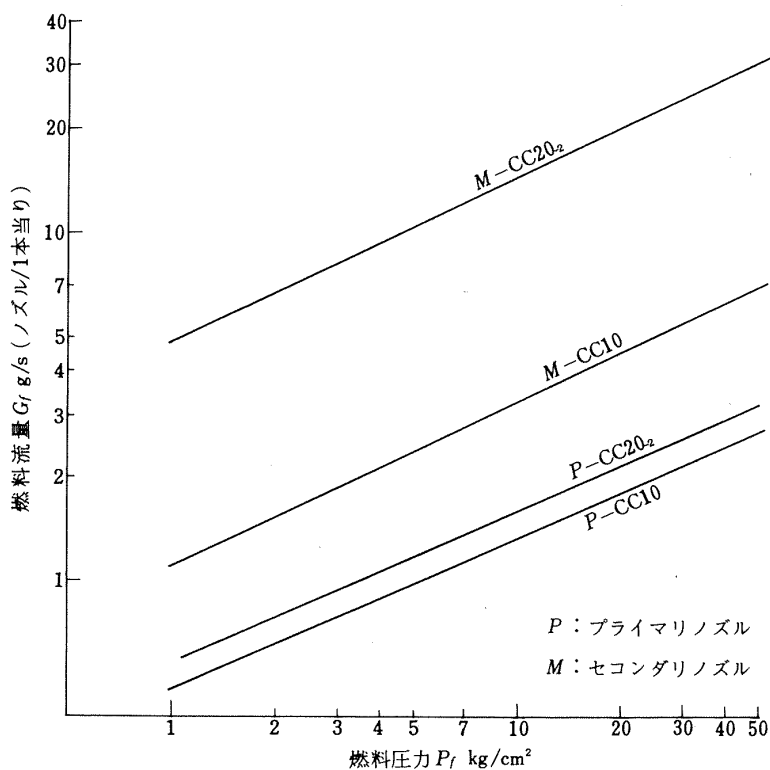


図 7 燃料噴射弁 流量-圧力特性

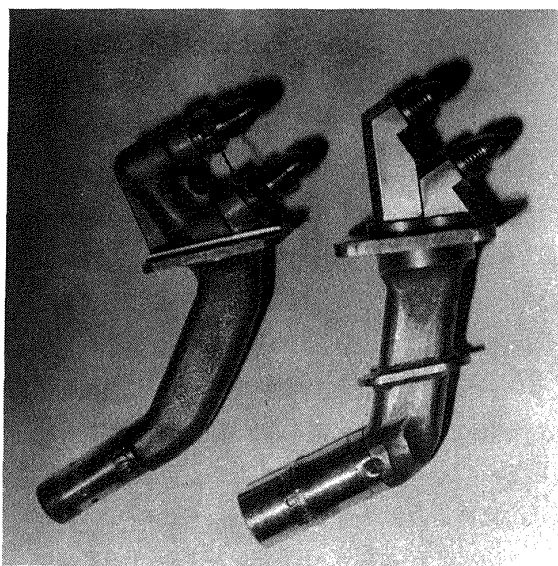


図 8 燃料噴射弁
(左:CC10ノルズ,右:CC20-2ノズル)

3. 実験装置および実験条件

器試験設備のうちの常圧試験系を用いた。
燃焼実験は、表2の条件で行なった。

実験装置は、当所原動機部の罐形燃焼

条件因子	変化範囲	摘要
燃焼器入口空気圧力 P_1 abs	1.07~1.22	出口温度計測ダクトから大気放出(排気ダクトに導く)。
燃焼器入口空気温度 t_1 °C	30~59 200~210	多くの実験は $t_1 \sim 40^\circ\text{C}$ 前後 予熱燃焼器使用は2回のみ
最大断面平均風速 U_r m/s	14~20	多くの実験は設計点の $U_r = 1.8 \text{ m/s} \sim 1.9 \text{ m/s}$ 付近
空燃比 n	40~180	設定は $n = 50 \sim 100$ の間を4点($n=50, 60, 75, 100$)とした
使用燃料	Jet A-1	灯油形ジェット燃料

表2 実験条件

4. 実験結果

実験は表3に示す内容について行なった。

	実験内容	測定項目
非燃焼実験	○流れ模様の測定 ○燃料噴射弁CC10, CC20-2ノズルの比較 ○CC20-2ノズルのプライマリ燃圧の影響 ○CC10ノズルのプライマリノズルからガス吹出しの効果 ○CC20-2ノズルのスワーラとの軸方向相対位置の効果 ○スワーラの比較 ○分流板入口幅広げの効果 ○ライナ第1列空気孔盲の効果 ○ライナ第1列冷却スリット盲の効果	燃焼効率 η_b 出口温度上下方向分布 出口温度不均一率 δ_t
燃焼実験		

表3 実験内容

燃焼器内の流れ模様の測定は、側壁を透明プラスチック板におきかえて行ない、ストリーマ観察の容易さから最大断面平均風速を $U_r \sim 6 \text{ m/s}$ に押えた。ストリーマのトラバース間隔は、10mmとした。

燃焼実験は、最大断面平均風速の設定値の標準を $U_r = 18 \sim 19 \text{ m/s}$ とし、この付近でもっとも多く行なった。

燃料噴射圧の設定は、CC10ノズルの場合、プライマリノズルとセコンダリノズルを同一の圧力にした。JR-系燃焼器の実験でもこのような燃圧設定をしたが、特に問題となる点はなかった。今回は、空燃比の大きな側で燃料噴霧粒径粗大化の影響が現われ、燃焼効率の低下する傾向がでたが、性能の比較を目的とする場合、これでも構わないと判断した。CC20₋₂ノズルの場合は、流量が多いためCC10ノズルのときと同様な燃圧設定ができず、プライマリノズルの燃圧を5, 10, 15 MPaの3種に設定し、所要の空燃比を得るために燃料流量の調整をセコンダリノズルで行なう方式をとった。なお、設計点空燃比は $n = 55$ である。

計測は、空気流量、燃料流量のほか燃焼器入口全圧1点、入口温度1点、燃焼器出口温度を上下方向4点、横方向7箇所計28点について行ない、これから最大断面平均風速 U_r 、出口温度上下方向分布、出口温度不均一率 δt 、燃焼効率 η 、空燃比 n などを求めた。

4.1 流れ模様の測定

燃焼器内部の流れ模様は、燃焼効率特性や振動燃焼限界、出口温度分布形に影響を及ぼすところが大きく、大切な資料となる。ここではもん系のストリーマを用いて、流れの方向を二次元的に測定した。測定断面

を図9に、スワーラ $54 \text{ mm} \phi / 42.5 \text{ mm} \phi$ 盲付を用いたときの結果を 図10～図13に示す。スワーラによる循環流領域は、図10からみると、第1列空気孔よりやや下流側まで；スワーラ取付板からの距離にして約60mmである。図11、図12によると、第1列空気孔からの空気噴流は強く、循環流領域はこれによって短縮されたような形で、長さが約50mmになっている。図11によると、第1列空気孔の、スワーラ旋回流と空気噴流と衝突する位置にある側では、空気孔からの流入空気は少ない。これは、第1列空気孔の噴流が、スワーラからの流れを相当に乱している、または、スワーラからの流れがライナ空気孔からの空気流入を妨げていることを示す。スワーラからの流れを重視すれば、第1列空気孔の位置は上流過ぎるといえる。ただし、下側ライナ空気孔からの噴流は、上側のものはほど乱されていない(図13)。第1列空気孔位置を横方向にトラバースして測定した図14では、前記傾向がさらに明らかである。この図14から判断すると、第1列空気孔部分では、下側から流入する空気量のほうが、上側からのものより多い。第2列空気孔からは、スワーラ旋回方向の影響が現われず、上下ほぼ対称に流れている。

流れ模様に及ぼすスワーラの影響を調べるため、スワーラ $56 \text{ mm} \phi / 43 \text{ mm} \phi$ 盲付について測定した。結果を図15～図18に示す。図10～図13のそれぞれ対応する測定断面について比較してみると、スワーラから第1列空気孔付までの流れ模様に微妙な差がみられる。この流れ模様の差が燃焼性能にどのような影響を及ぼすかの判断は、燃焼実験によらないとわからない。

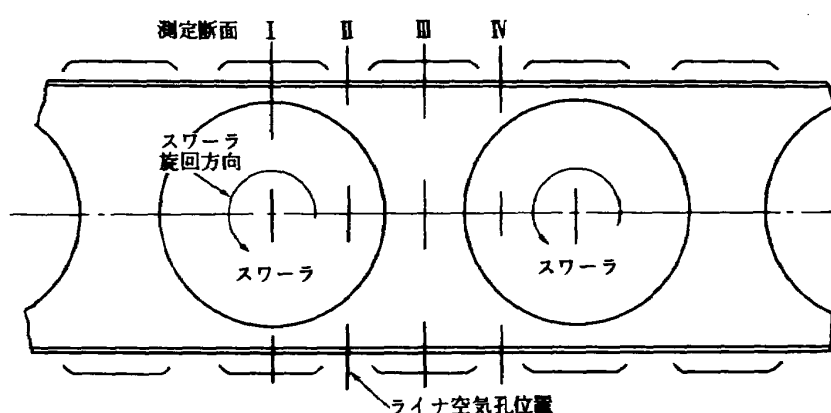


図 9 流れ模様測定断面(I～IV)

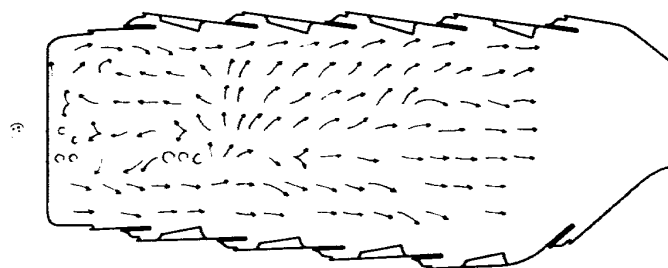


図 10 流れ模様—I スワーラ中心断面（スワーラ50φ/42.5φ盲付）

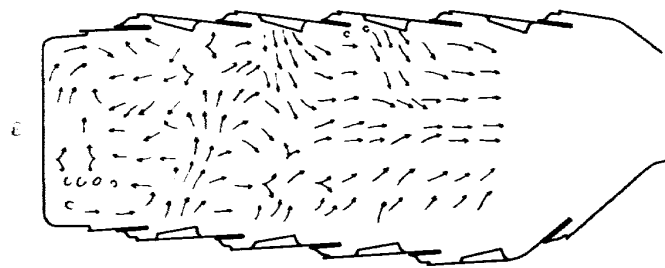


図 11 流れ模様—II 空気孔中心断面（スワーラ54φ/42.5φ盲付）

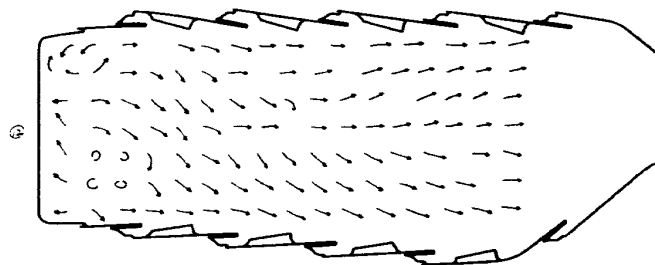


図 12 流れ模様—III スワーラ中間断面（スワーラ54φ/42.5φ盲付）

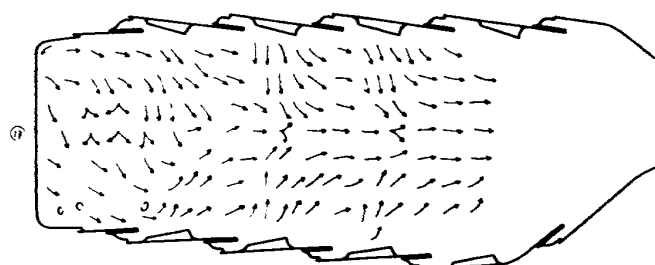


図 13 流れ模様—IV 空気孔中心断面（スワーラ54φ/42.5φ盲付）

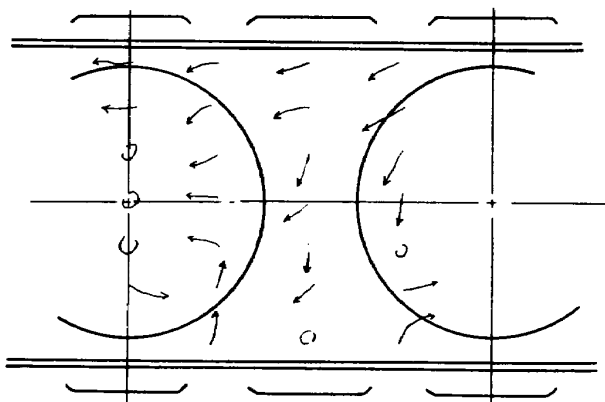


図 14 流れ模様—V

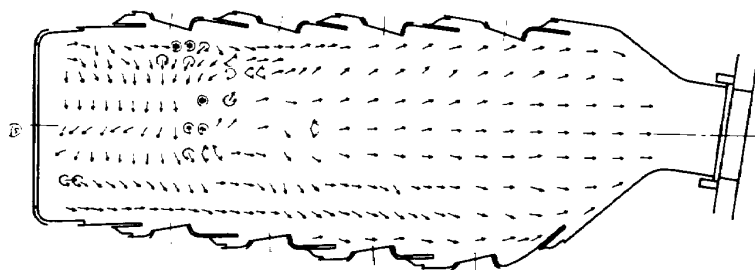


図 15 流れ模様—I スワーラ中心断面(スワーラ56φ/43φ盲付)

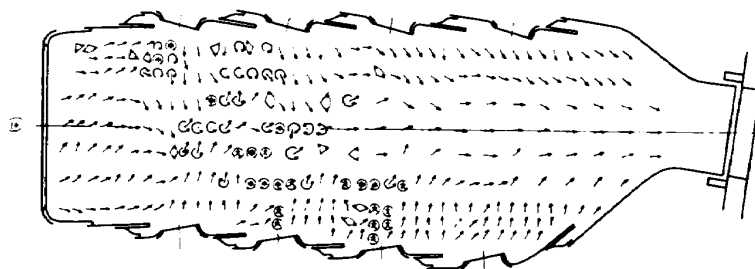


図 16 流れ模様—II 空気孔中心位置(スワーラ56φ/43φ盲付)

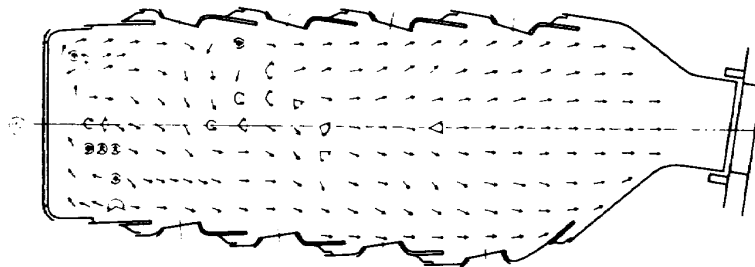


図 17 流れ模様—III スワーラ中間位置(スワーラ56φ/43φ盲付)

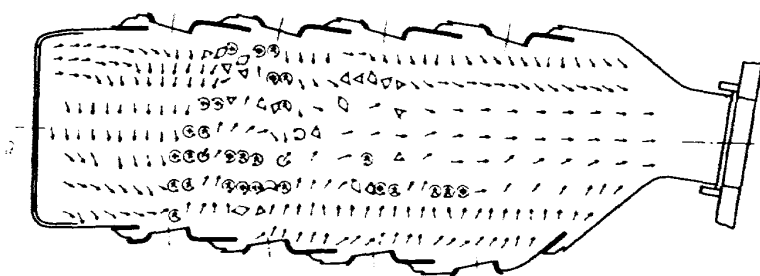


図 18 流れ模様-IV 空気孔中心位置(スワーラ56°/43°盲付)

4.2 燃焼効率特性

4.2.1 燃料噴射弁CC10を用いたときの標準的な性能

ライナCC20S-1 原型、標準スワーラとして55°/43°盲付、燃料噴射弁CC10を用いたときの燃焼効率特性を図19に示す。参考までにアニュラ形燃焼器模型CC20の結果も合せて示す。空燃比 $n < 70$ の範囲ではセクタ模型のほうが高い燃焼効率を示すが、空燃比の大きさをとろでは燃焼効率が低めのようである。図19には、1点のみであるが、プライマリノズルのみの結果を示している。プライマリノズルのみのときは、空燃比が大きくとも燃焼効率は高く、図19の空燃比の大きな範囲の燃焼効率低下は、主に燃料噴霧粒径の粗大化に基くものと推定される。

燃焼実験時の火炎の観察によると、セコンダリノズルを使用して燃料圧力の低いとき、スワーラ中心部分にはスワーラ近傍まで火炎があり、よく保炎されているが、スワーラ取付板の保炎がほとんどみられず、燃料噴霧がライナ壁面に衝突して、ライナ面上を流れている。空燃比を $n \leq 50$ と小さくすると(燃料圧力は

7~10 kPaになる), スワーラ取付板上でも保炎が行なわれるようになり、ライナ面上を流れる燃料の量が減少する。一方、プライマリノズルのみを使用すると燃圧を高くしても空燃比は大きいが、この状態で、スワーラ取付板による保炎が行なわれ、ライナ壁面上に流れる燃料は、ほとんどみられない。プライマリ燃圧8 kPaでこの状態が観察され、入口空気を予熱したとき6 kPaで観察されている。スワーラ取付板による保炎の有無は、主にプライマリ燃圧できるようである。この観察によると燃料噴霧角をもっと小さくしたほうが、スワーラ取付板による保炎改善および噴霧のライナ面への衝突防止の点で良いと推定された。

図19には示していないが、最大断面平均風速を $U_r = 19 \text{ m/s}$ から 14 m/s と低下させると、燃焼効率はいくぶん低下する。また、予熱による入口空気温度上昇の効果は、 $t_1 \sim 200^\circ\text{C}$ まで高めたが、それほどなかった。その理由の一つは、最大断面平均風速を予熱なしのときに合せると空気流量が減少し、同一空燃比に対し燃料噴射圧力が低下して噴霧粒径が大きくなるためと考えられる。プライマリノズルのみを使用した

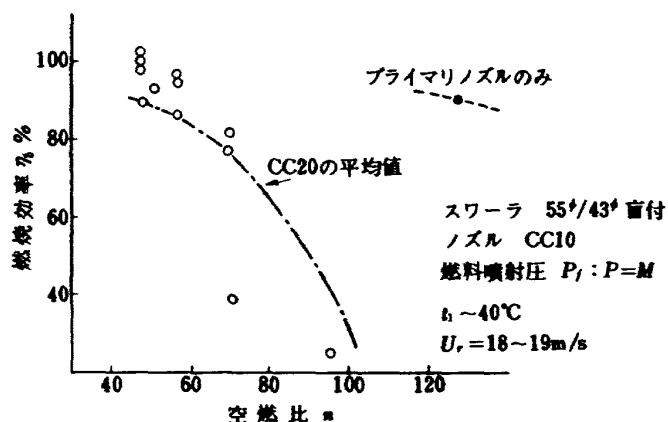


図 19 燃焼効率-CC20S-1 の性能

状態で予熱の効果を比較すると、予熱なしのときの燃焼効率がすでに高いため、予熱による燃焼効率の改善は少なかった。

4.2.2 スワーラの燃焼効率特性に及ぼす影響

図20は、燃料噴射弁にCC10を用いたときのスワーラによる燃焼効率の差異を示したものである。図20の $56\text{mm}\phi/43\text{mm}\phi$ 盲付スワーラの性能は、図19に示した $55\text{mm}\phi/43\text{mm}\phi$ 盲付スワーラの結果の再現性の範囲内にあり、大きな差があるとはいえないが、直接比較できるデータでみると図20のようになり、直接比較できない参考データでも図20のような傾向が示されたため、代表的なものとして示した。これによる

と $56\text{mm}\phi/43\text{mm}\phi$ 盲付スワーラより $55\text{mm}\phi/43\text{mm}\phi$ 盲付のほうがすぐれている。

燃料噴射弁にCC20-2を用いたときの各種スワーラの性能比較を図21に示す。 $54\text{mm}\phi/39\text{mm}\phi$ 盲付スワーラの性能は劣っているが、他種のスワーラでは、ほとんど差はない。この $54\text{mm}\phi/39\text{mm}\phi$ 盲付スワーラは、プロパンガスによるスワーラ単独の保炎テストの結果、盲リング外径が小さすぎると判断されたものである。図22は、 $52\text{mm}\phi$ スワーラの盲リング外径 $39.5\text{mm}\phi$ と $41.0\text{mm}\phi$ の比較である。参考として図21の $54\text{mm}\phi/42.5\text{mm}\phi$ 盲付のデータを併記した。空燃比の小さな範囲で $52\text{mm}\phi$ スワーラは $54\text{mm}\phi$ スワーラより低めの燃焼効率を示すが、差はわずかである。 $52\text{mm}\phi$ スワーラの盲リング外径の差は現われていない。プロパンガスによるスワーラ単体の保炎テストの結果では $41.0\text{mm}\phi$ 盲リング付は、盲リング外径過大、 $39.5\text{mm}\phi$ 盲リング付が適当と、従来の経験³⁾から判断された。この予想のすれば、スワーラ流れとライナ空気孔からの空気噴流の干渉(図11など参照)による影響があったとみられる。この燃焼器の場合、盲リング外径は過大気味のほうが、燃焼効率は良好なようである。

なお、図22では、燃焼効率が100%を超す値もいくつかあり、この原因を調べるために、空気流量計、燃料流量計、出口温度指示計など計器チェックをしたが、いずれも正常であった。結局、原因を明らかにすることはできなかつたが、再現性があるため、今回主目的とする性能比較には問題ないものとして、燃焼効率が

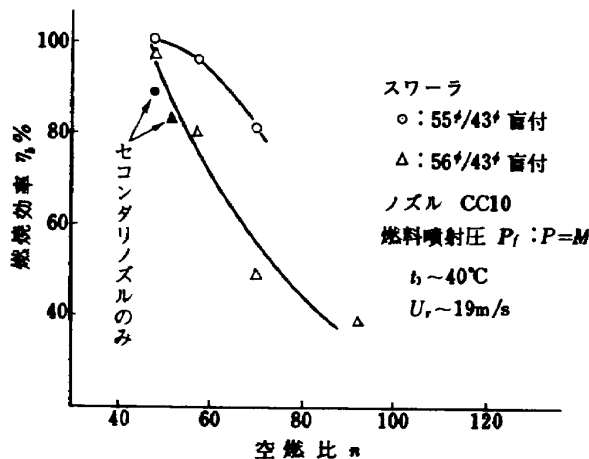


図 20 燃焼効率—スワーラの比較—I

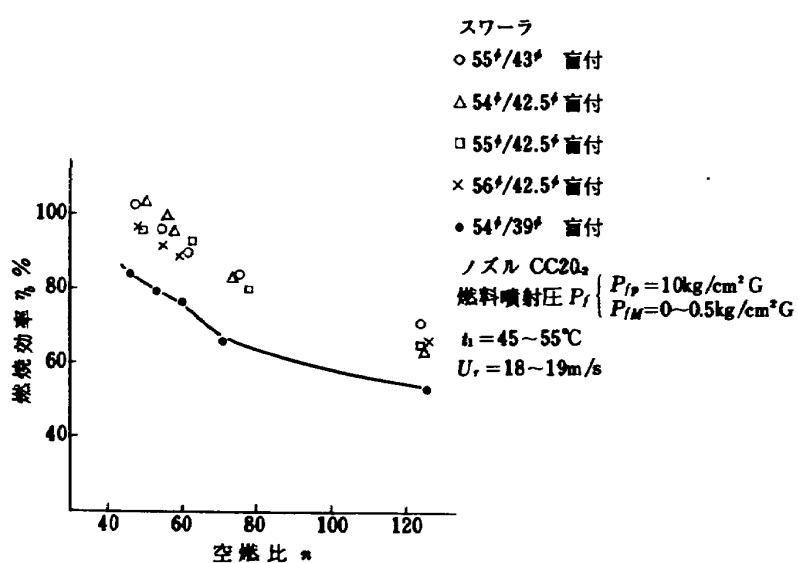


図 21 燃焼効率—スワーラの比較Ⅱ

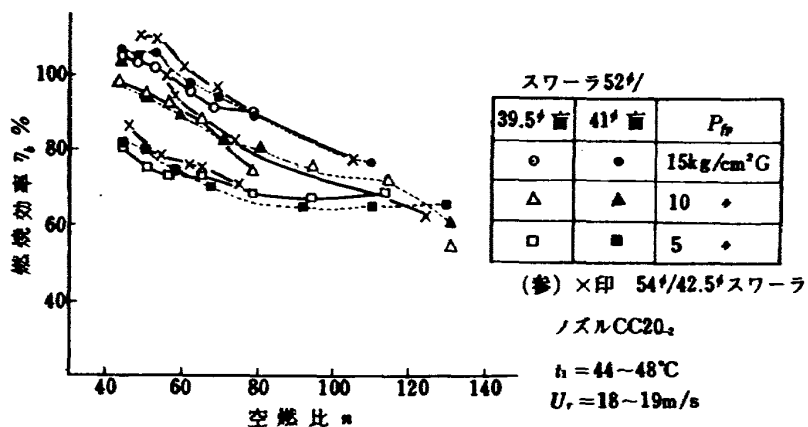


図 22 燃焼効率—スワーラの比較

100 %を超す値もそのまま採用した。

4.2.3 プライマリノズル燃圧の燃焼効率に及ぼす影響(CC20-₂ノズル)

CC20-₂ノズルのプライマリノズルの設定燃圧をえた効果を図 22 に示す。このプライマリ燃圧を高めると燃焼効率の改善される傾向は、他のスワーラを用いたときも同様である。火炎状態の観察によると、プライマリ燃圧 $P_{pr} = 5$ 倍のときからスワーラ取付板上の保炎が行なわれ、燃焼器内火炎の色、火炎長さの点でプライマリ燃圧の違いによる差はほとんどみられない。しかし、同一出口温度に対し、プライマリ燃圧の低いときのほうが燃料流量が多い、すなわち燃焼効率が低下している、という感じである。

4.3 出口温度分布

燃焼器出口温度分布としては、主に上下方向の分布、すなわち、アニュラ形のときの半径方向に対応する分

布をとりあげた。横方向の分布、すなわち、アニュラ形のときの円周方向に対応する分布は、分割模型の場合、側壁の影響が大きく現われ、精度よく求まらないので、今回、これについての検討は行なっていない。出口温度上下方向分布は、アニュラ形のときと定性的一致の得られること⁵⁾、および燃焼器内部の火炎の様子などとの関連を調べることで有用なものとなる。各条件における出口温度分布の比較に対して、各計測点の横方向平均値 t_{z1} から入口温度 t_1 を引いた値を、平均温度上昇 ($t_2 - t_1$) で割った無次元数を用いた。これは、従来の経験によると空燃比によっては、ほとんどかわらないものとなる。

4.3.1 燃料噴射弁の出口温度分布へ及ぼす影響

燃料噴射弁による出入口温度分布の差異として、CC10 ノズルと CC20-₂ ノズルの場合を図 23 に示す。図 23 の差は、燃料噴射圧の低い状態における燃料噴霧角の違いによるものと考えられる。参考までに図

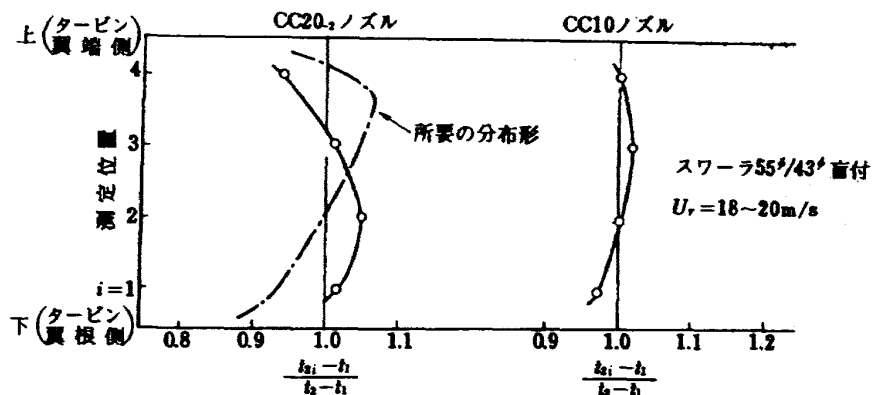


図 23 出口温度上下方向分布—噴射弁の影響

2.3 中にアニュラ形についての所要の分布形を示した。燃料噴霧粒径の影響は、図24に示すように出口温度分布にほとんど現れない。なお、図20の燃料圧力P_f、Mはそれぞれプライマリノズル燃料圧力、セコンダリノズル燃料圧力を示し、P_f/M=1.5/0.2のときのほうがP_f/M=2/0.5のときより噴霧粒径は小さい。この差は、燃焼効率には現われている(図22)。

4.3.2 入口空気温度の出口温度分布へ及ぼす影響
図25は、入口空気温度を高めたときの分布形の変化を示したものである。最大断面平均風速U_r~19m/sでは、差はないが、U_r~14m/sでは、いくぶんの差がみられる。

4.3.3 最大断面平均風速の出口温度分布へ及ぼす影響

最大断面平均風速の影響は、多くの場合、実験した範囲内ではほとんど現われなかった。

4.3.4 スワーラの出口温度分布へ及ぼす影響

CC10ノズルを使用したときのスワーラの種類による出口温度分布の違いを図26に示す。この場合、55φスワーラと56φスワーラで分布の傾向がことなっている。スワーラ外径の差による出口温度分布形の差は、CC10Sの場合にもあった。これに対し、CC20₋₂ノズルを使用したときは、実験したスワーラすべて同様な分布形を示し、スワーラによる差は認められなかった。(図27)。これは、一次燃焼領域内の流れ模様と燃料の噴霧角や粒径の関係からたるものといえるが、まだ解明できるほどの資料はない。

4.4 出口温度不均一率

出口温度不均一率δ_tとして、計測点の最高温度(t_{2i})_{max}に着目し、平均温度t₂、平均温度上昇Δt(=t₂-t₁)から次式で表わした。

$$\delta_t = \frac{(t_{2i})_{\max} - t_2}{\Delta t}$$

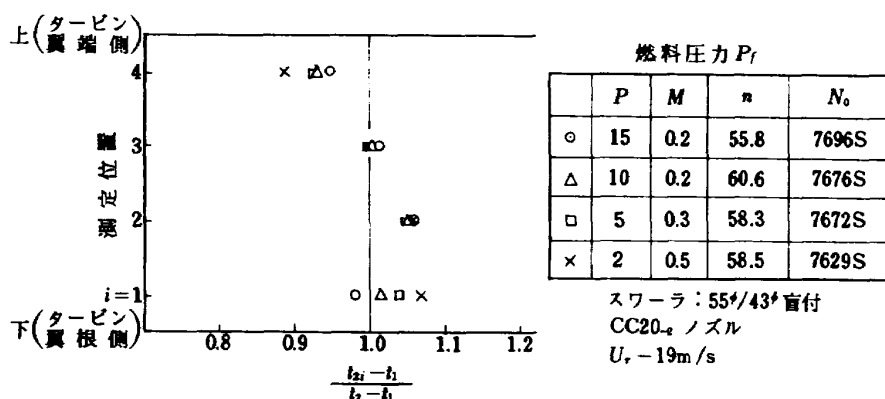


図 24 出口温度上下方向分布—噴霧粒径の影響

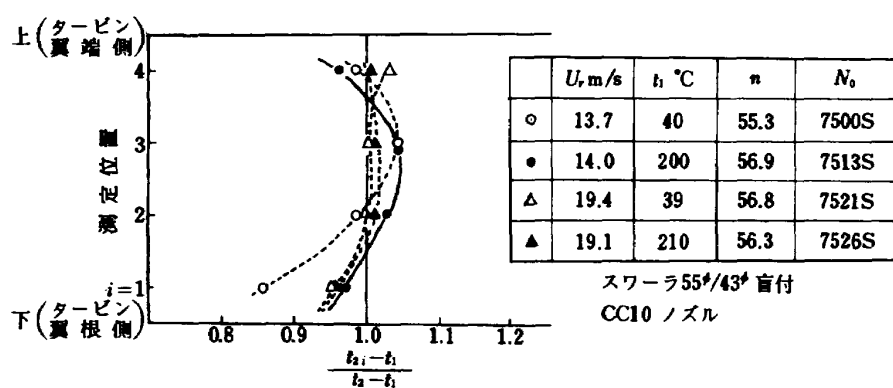


図 25 出口温度上下方向分布—入口空気予熱の影響

この実験のような分割模型の場合は、アニュラ形の場合より δt 値がどうしても高くする傾向をもつ。エンジン側からの要求値は $\delta t < 0.2$ である。はじめの実験において出口温度指示計にフルスケール 1000°C のものを用いたため、 $(t_{2i})_{\max} \leq 1000^{\circ}\text{C}$ が測定可能範囲となり、 δt 値が大きく、かつ平均温度の高い状態では、正しい δt 値を求めることができなかつた。あの実験では、フルスケール 1200°C の指示計を用いた。

4.4.1 CC10ノズルを用いたときの出口温度不均一率

標準状態の実験結果を図 28 に示す。入口空気温度 $t_1 = 39 \sim 45^{\circ}\text{C}$ の予熱なしの場合、平均温度上昇 Δt が大きくなると出口温度不均一率 δt も増加する傾向

にあるが、 $\Delta t \gtrsim 650 \text{ deg C}$ において $\delta t \sim 0.2$ 程度である。 $t_1 \sim 200^{\circ}\text{C}$ と予熱した場合 $\delta t \lesssim 0.1$ ときわめて良好である。これは、相当するアニュラ形ライナの結果と比較してもすぐれている。入口空気予熱の効果は、燃焼効率特性には、前記のように、あまり現われなかつたが、出口温度不均一率にはあり、この傾向は実機の場合、好ましいものとなろう。

図 29 は、スワーラによる δt の差異を示したものである。図の 56φ/43φ 盲付スワーラの場合、平均温度上昇 Δt の小さな範囲で δt のばらつきが大きく、また絶対値も大きい。 $\Delta t \gtrsim 700 \text{ deg C}$ では、56φ スワーラと 55φ スワーラの差はほとんどない。一般に、スワーラの大きさが適当でないと、横方向(円周方向)の出口温度分布が悪くなる。

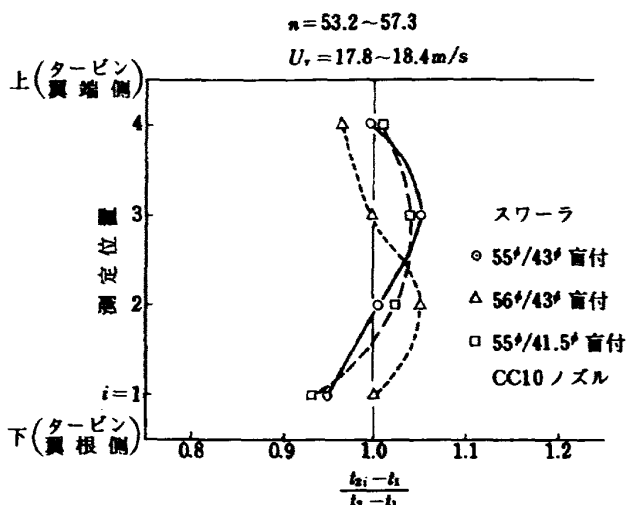


図 26 出口温度上下方向分布—スワーラの影響—I

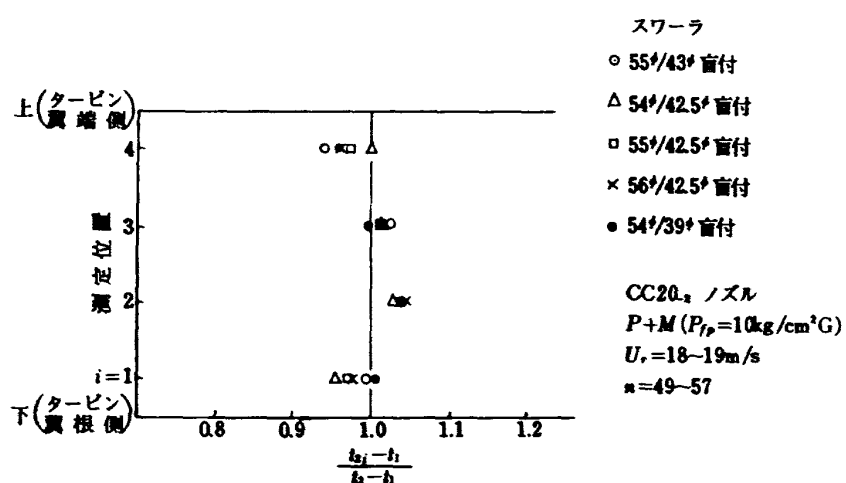


図 27 出口温度上下方向分布—スワーラの影響—II

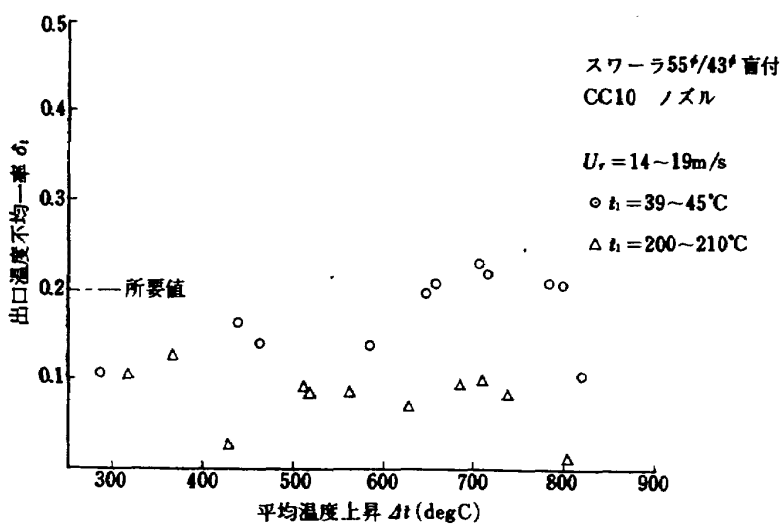


図 28 出口温度不均一率—CC10ノズル

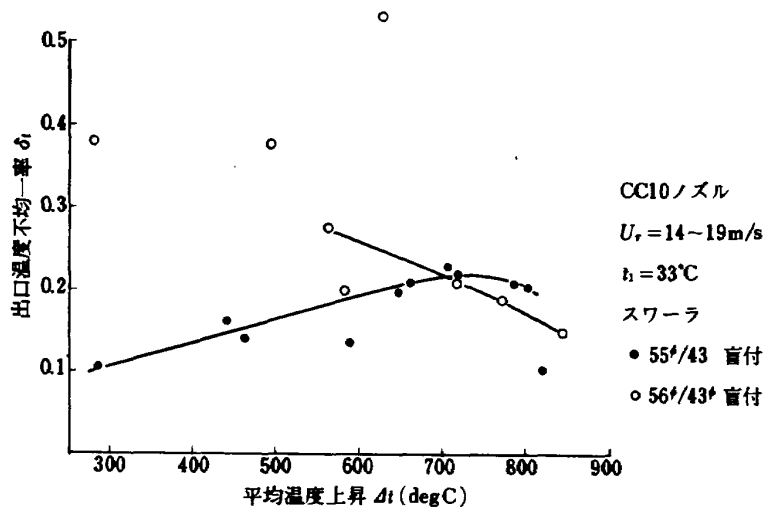


図 29 出口温度不均一率—スワーラの比較—I

4.4.2 CC20-₂ ノズルを用いたときの出口温度不均一率

CC10ノズルのときにくらべ、CC20-₂ノズルを用いたときは、出口温度不均一率 δ_t が大きくなつた。標準状態のときの結果を図30に示す。プライマリノズルの燃料圧力をかえた影響は、明らかではないが、プライマリ燃圧の高いときのほうが、いくぶん δ_t 値の低くなる傾向を示している。このCC10ノズルとCC20-₂ノズルのときの δ_t 値の差異の原因は明らかでない。

4.4.3 出口温度不均一率に及ぼすスワーラの影響 (CC20-₂ ノズル使用)

スワーラ外径を54, 55, 56φとかえたときの出口

温度不均一率 δ_t の比較を図31に示す。スワーラ外径をかえた効果は、ほとんど現われていない。この状態では、図30とことなり、プライマリ燃圧の δ_t に及ぼす影響が明らかで、プライマリ燃圧の高いときのほうが δ_t は低い。 δ_t の絶対値も低く、 $\Delta t \geq 650 \text{ degC}$ では、OC10ノズルのときより良好である。図29では、スワーラ外径の δ_t に及ぼす影響がみられ、図31で現われない理由は明らかでないが、スワーラ構造の差異は、旋回羽根板厚が図29のスワーラの $t = 0.4 \text{ mm}$ に対し図31のスワーラの $t = 1.0 \text{ mm}$ および図31の56φスワーラでは旋回角が47.5°になつてゐる点である。図32は、52φスワーラの盲リング外径をかえたもの、および54mmφ/39mmφ盲付スワーラの結果を併記したものである。52φスワーラの盲

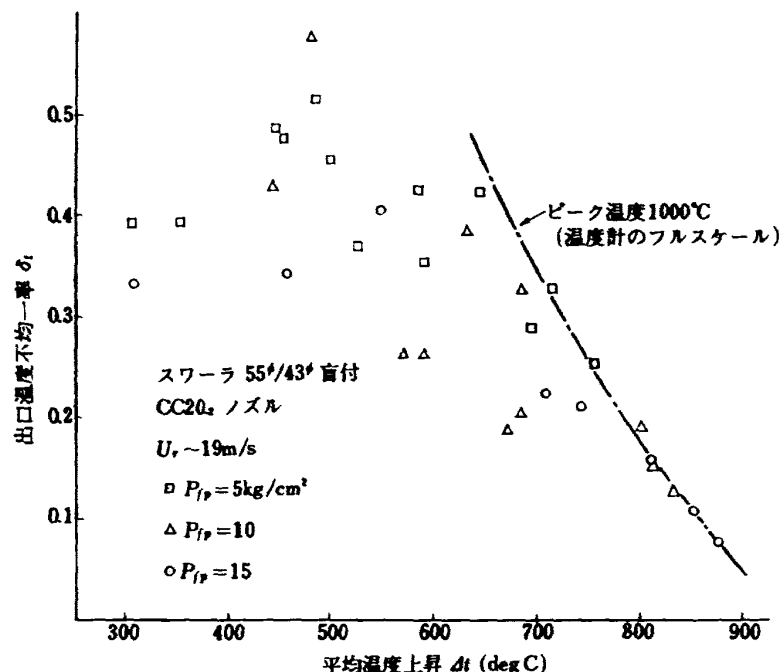
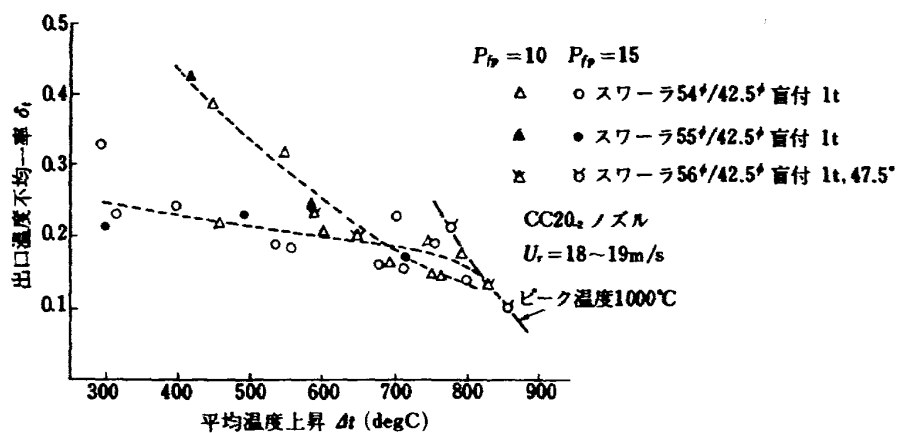
図 30 出口温度不均一率—CC20₂ ノズル

図 31 出口温度不均一率—スワーラの比較—I

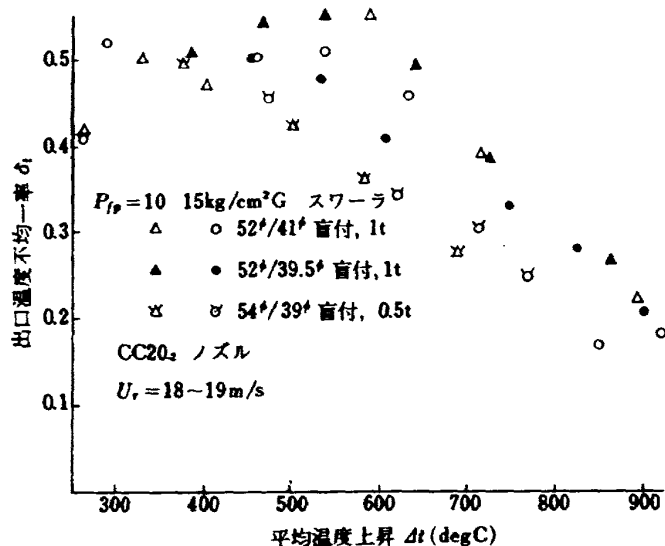


図 32 出口温度不均一率—スワーラの比較—I

リング外径による δ_t の差異はみられない。52φスワーラと54φスワーラを比較すると、54φスワーラのほうが、いくぶん δ_t が低めである。この図32においても図30と同様、プライマリ燃圧の差に基づく δ_t のちがいが明らかでなく、また δ_t の絶対値が高くなっている。

CC20-2ノズルを用いた場合、出口温度不均一率の特性は、図31の結果がもっとも良好で、この点からは、図31に示したスワーラを用いるのが適当といえる。

4.5 ライナまわりの構造の影響

燃焼器ライナの因子として分流板入口幅を広げたもの、ライナ第1列空気孔盲および第1列冷却スリット盲の影響を調べた。

分流板入口部は、この部分の開口面積がスワーラ開口面積より狭く、スワーラからライナ内へ流入する空気量の制御を行なっている。分流板入口幅広げの意味は、スワーラからなるべく多くの空気を流入させ、排気中の煙減少をはかることがある。

ライナ第1列空気孔盲は、これによって一次燃焼領域の流れ模様がかわるが、この状態の燃焼性能を調べることを目的とした。

第1列冷却スリット盲は、ライナ壁に衝突した燃料噴霧の様子がどのようにかわるか調べ、エンジンアイドリング時の炭化水素の排出低減化の資料を得ようとするものである。

4.5.1 分流板入口幅を広げた影響

分流板入口幅を原型の3mm(実測2.8mm)から4mm(実測3.8mm)にかえたときの燃焼効率の比較を図33

に示す。この分流板入口幅広げによって、スワーラに流れる空気量は、全体の17%から22%程度に増加したと推定されるが、図33では、差がみとめられない。分流板入口幅広げの状態でスワーラの燃焼効率特性に及ぼす影響を調べた例を図34に示す。図34によると、54mm/42.5mm盲付スワーラと52mm/39.5mm盲付スワーラとの差はあまりないが、どちらかというと52φスワーラのほうが良好である。図22の分流板入口幅原型のときの結果では、54φ~52φスワーラの差は、燃焼効率上にほとんど現われていなかが、どちらかというと54φスワーラのほうがすぐれていた。図35は、出口温度上下方向分布形に及ぼす分流板入口幅の影響を示したものである。あまり差はないが、分流板入口幅を広げたときのほうが望ましい形を示している。図36は分流板入口幅をかえたときの出口温度不均一率 δ_t の比較である。52φスワーラを用いた場合、分流板入口幅を広げた影響はみられない。また、この状態でも52φスワーラより54φスワーラのときのほうが、 δ_t 値が低く、すぐれている。この図36の54φスワーラの δ_t 値と図31の値と比較してみると、分流板入口幅を広げたときのほうが、いくぶん δ_t の大きくなる傾向のあることがわかる。

4.5.2 ライナ第1列空気孔盲の効果(CC20-2ノズル)

この実験は、燃焼器出口にアフターバーナ⁶⁾をつけた状態で行なったが、これは、前記の標準状態と少しこことなっているため、この条件で標準状態の組合せを再実験じた。この結果を図37に示す。図37と図

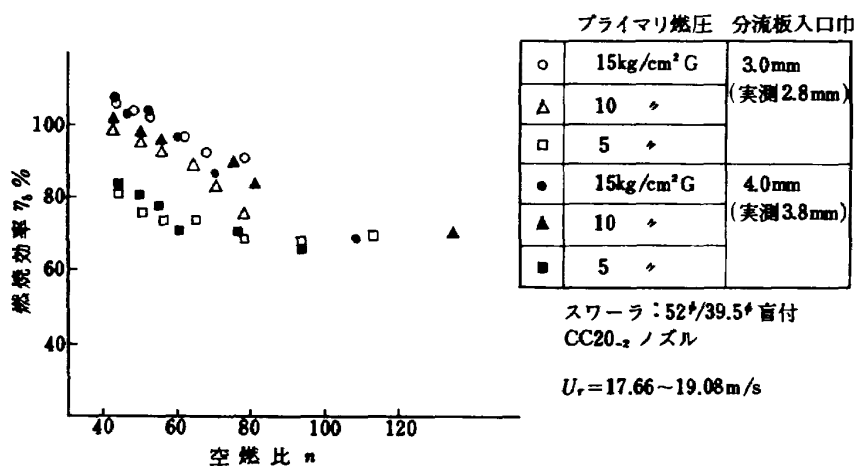


図33 分流板入口幅の影響—燃焼効率—I

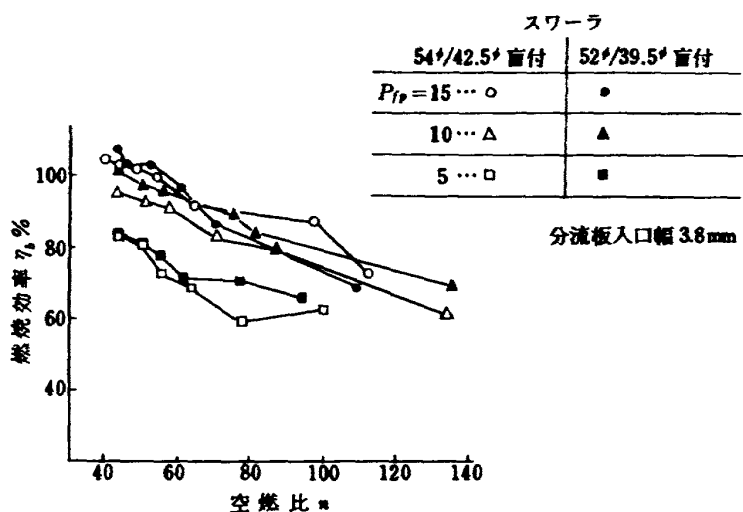


図 34 分流板入口幅 4 % のときのスワーラの比較

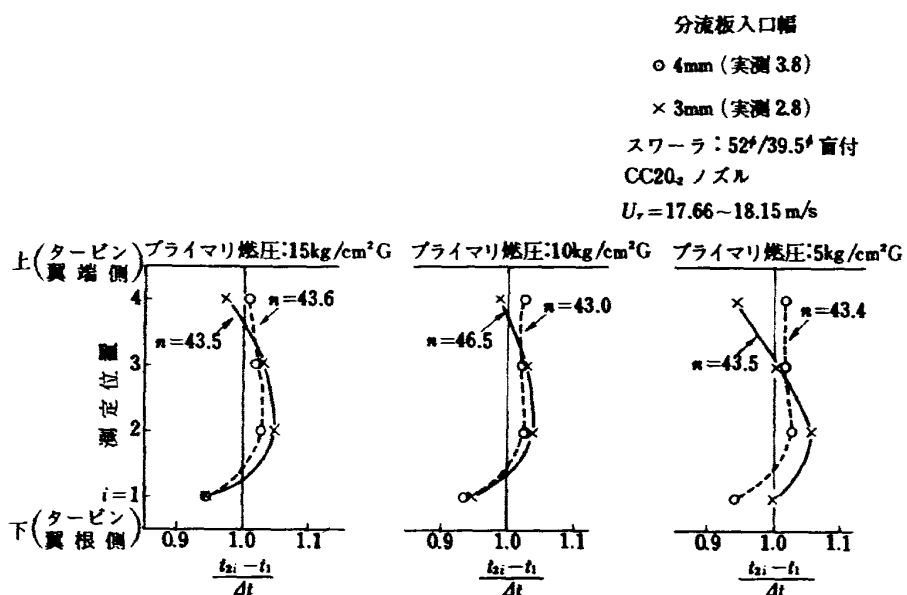


図 35 分流板入口幅の影響—上下方向温度分布

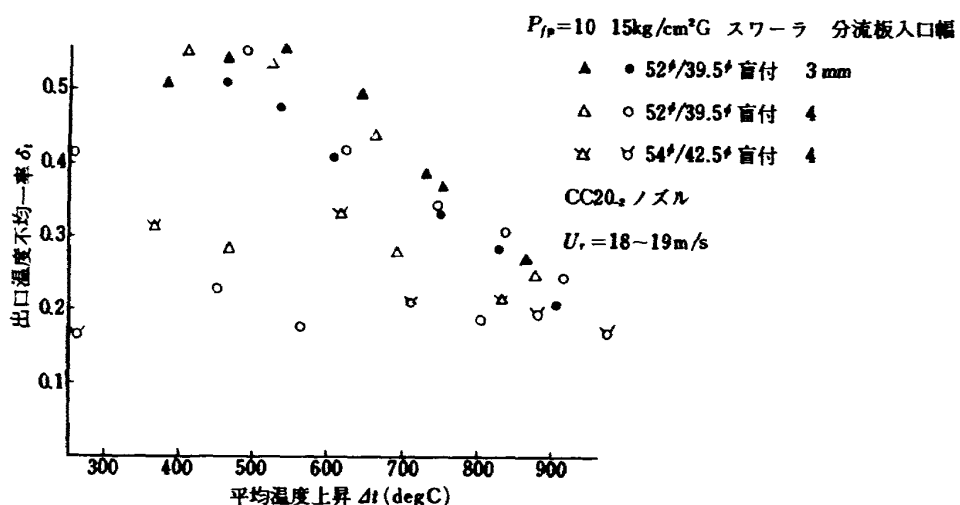


図 36 分流板入口幅の影響—出口温度不均一率

21の同ースワーラの場合を比較してみると、空燃比 $n \geq 60$ では一致するが、 $n < 60$ では、図37の燃焼効率のほうが低くなっている。しかし、この条件の標準データになると判断して、これとの比較を行なった。

ライナ第1列空気孔盲の燃焼効率特性に及ぼす効果を図38に示す。図37と図38の比較から、第1列空気孔盲によって、わずかながら燃焼効率の低下することがみられる。なお、この状態でプライマリノズルの燃圧15kg/cm²Gのとき、セコンダリノズルを開いていくと激しい振動燃焼を起こし、空燃比の小さな状態のデータをとることができなかった。

第1列空気孔盲による出口温度上下方向(半径方向に対応)分布の変化を図39に示す。分布形は、下側

(内径側に対応)高めの形になったが、これは、ライナ第1列空気孔からの空気流入が上側、下側ライナでアンバランスになっていて、流れ模様の測定結果から下側のほうが多いと判断されたが、この影響の現われとみられる。

第1列空気孔盲による出口温度不均一率の変化は、ほとんどなかった。

4.5.3 ライナ第1列冷却スリット盲の効果

(CC20₂ノズル)

ライナ第1列冷却スリットは、燃料噴霧がライナ壁面に衝突し、ライナ壁面上を流れる状態のとき、燃焼性能や排氣中の炭化水素濃度に影響を及ぼすことが考

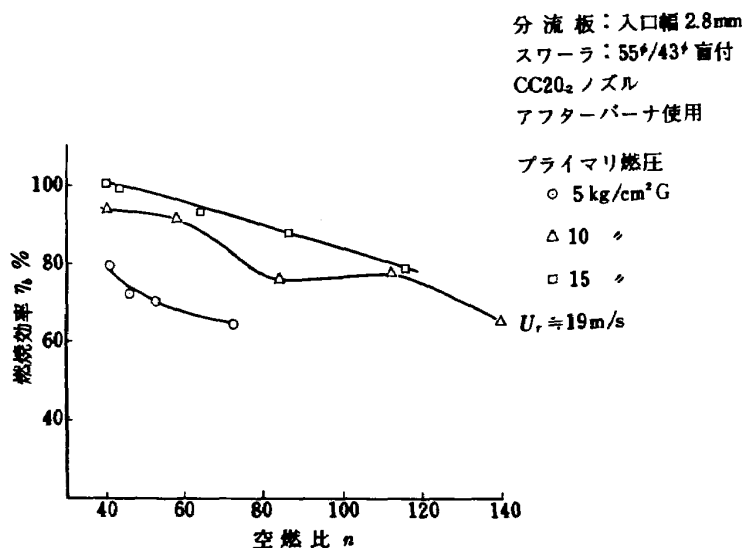


図 37 標準形の燃焼効率

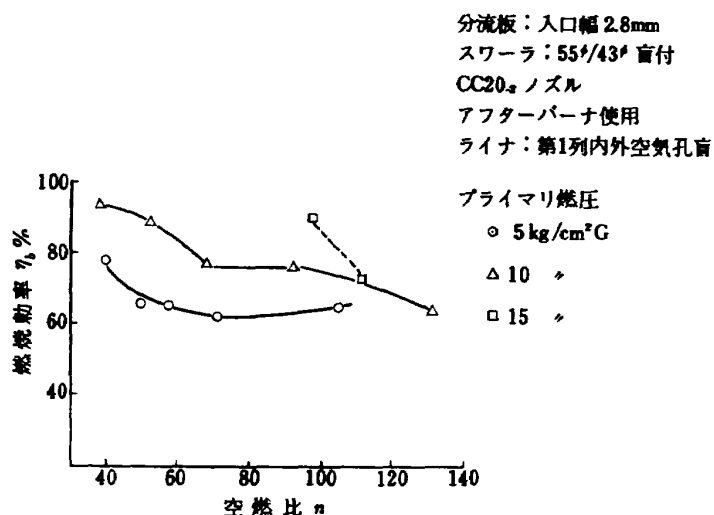


図 38 燃焼効率—第1列空気孔盲

えられる。

第1列冷却スリットを盲したときの燃焼効率特性を図40に示す。条件は図37と同一で、これと比較してみると、全般に、少しではあるが燃焼効率の改善がみられる。

出口温度上下方向分布は、標準データと同一であるが、出口温度不均一率は、大幅に改善された。これを図41に示す。冷却スリット軸方向位置は、予想以上に大きな影響をもつことがわかる。

4.6 燃料噴射弁からガスを吹出した効果 (CC10ノズル)

燃料噴射弁のプライマリノズルから空気またはプロパンガスを吹出しセコンダリノズルから燃料を噴射し

たとき、燃料噴霧の観察によると、燃料の微粒化が特に燃料流量の少ないと明瞭にみられる⁴⁾。このときの燃焼効率特性を図42に示す。同図によると、空燃比70以下では、ガス吹出しの効果が少ないが、これ以上の空燃比では大きく、ガス吹出しなしのときは、火炎が吹消えてしまう。吹出しガスとして空気の代りにプロパンガスを用いてみたが、空気のときより燃焼効率が低下するようである。吹出しガスによる燃料微粒化の効果は、噴霧中心部(円錐頂角にして約20°の範囲)のみで、噴霧周辺の粒径の大きさところで、この影響を受けないため、空燃比80以上で燃焼効率が>60%にとどまり、大幅な、たとえば、>90%というような改善までできなかった。

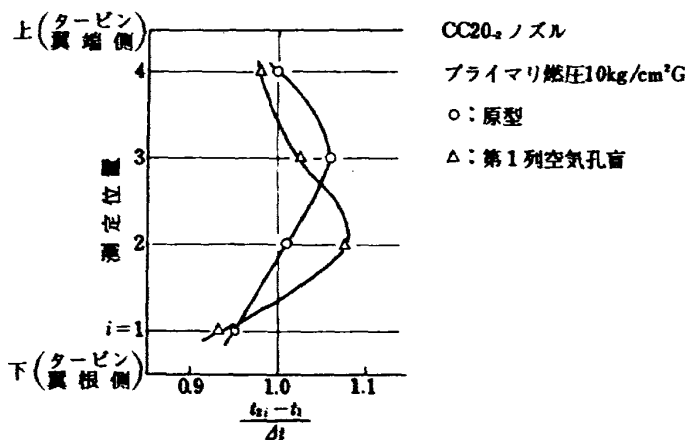


図39 出口温度上下方向分布—第1列空気孔盲

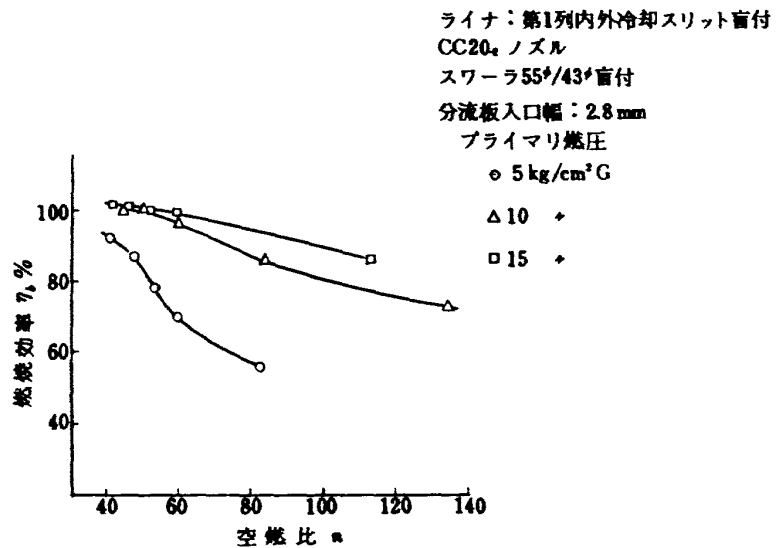


図40 燃焼効率—第1列冷却スリット盲

4.7 燃料噴射弁先端の軸方向位置の影響

燃料噴射弁の先端とスワーラの内径面とは、軸方向位置を一致、または1mm程度スワーラ内に突出する程度に調整している。このスワーラと噴射弁との相対位置がかわると、燃料噴霧角の大幅に変化することが、実験中に観察された。すなわち、噴射弁先端（ほぼノズル噴孔位置）がスワーラ内に突出していないとき、燃料噴霧は、静止大気中に噴射したときより、はるかに広がり、燃料はスワーラ盲リングに衝突する。そして、旋回羽根の後流内を半径方向に流れ、ライナ壁面に流

れる。この状態では、スワーラの保炎性能が低下し、スワーラ盲リングやライナ壁に炭素堆積が生じやすい。

スワーラ内面から噴射弁先端を3mm程度以上突出すると噴霧角は、静止大気中の場合とかわらない程度になる。このときスワーラ盲リングに衝突する燃料はみられず、ライナ壁面に流れる燃料も、燃料噴霧の衝突位置より上流側では皆無となる。

この燃料噴射弁先端とスワーラとの相対位置の影響を調べるために、スワーラ内面から0~1mmの原型および4, 6, 8mmと内部へ突出した状態の実験を行なっ

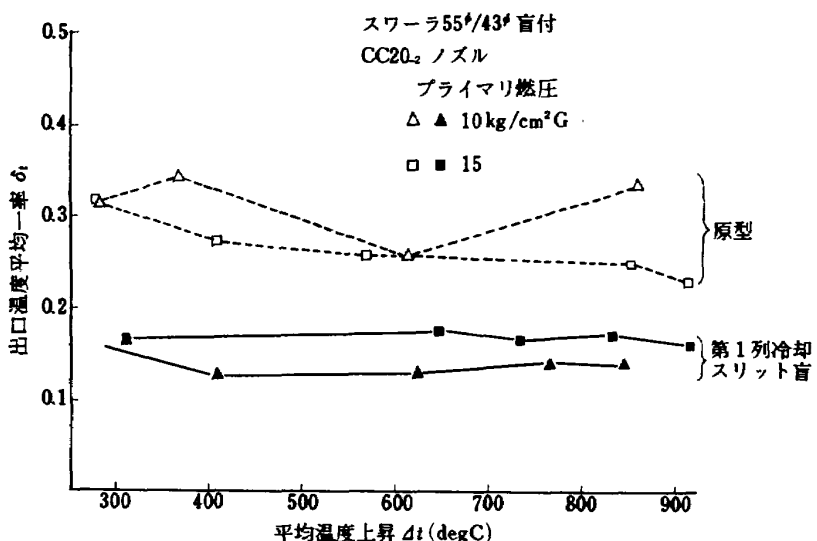


図 41 出口温度不均一率—第1列冷却スリット盲

ライナ	プライマリノズル	記号	備考
CC20S-1 原型	空気吹出し	○	噴射弁④のみ スワーラ55°/ 43° 盲付 $U_r = 19 \text{ m/s}$
	吹出なし	△	
CC20S-1 空気孔 第1列盲	空気吹出し	●	
	吹出なし	▲	
	LPG吹出	×	

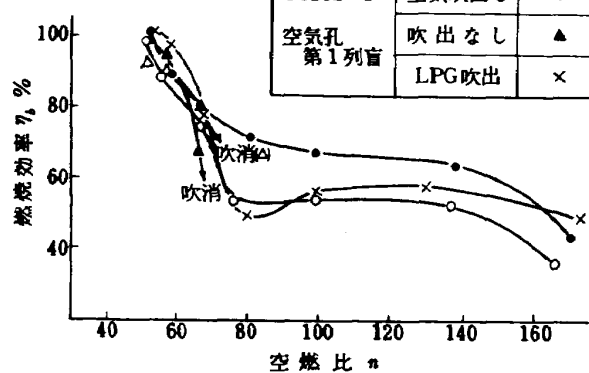


図 42 プライマリノズルより空気、L.P.G流入をした効果

た。この相対位置の変化は、スワーラ取付板の位置を移動させて行なった。燃焼効率の比較を図43に示す。噴射弁位置は、原型から6mmまで燃焼効率に影響を与える、8mm突出すると差が現われる。図43の状態の出口温度不均一率 δt を図44に示す。燃焼効率の場合と同様、原型位置から6mmまで差はないが、8mm突出すると δt の高くなる傾向を示す。ただし、噴射弁位置8mmのときでもプライマリ燃圧を高めると δt の減少する傾向があり、実用上、問題になるほどの差異はないと思われる。

5.まとめ

ファンエンジン用燃焼器のアニュラ形模型CC20の $1/4$ 分割展開模型CC20Sを作成して大気圧燃焼実

験を行なった。その結果、次の事柄が判明した。

- (1) スワーラに流れる空気量を制限する分流板入口幅を、開口面積比にして17%から22%と広げ、この影響を調べたが、性能的な差は、あまり現われなかった。
- (2) 燃料噴射弁は、使用条件によって噴霧粒径がかかるが、この影響は火炎の様子に、燃焼効率上に大きく現われた。実験した範囲内では、粒径の小さな条件のほうが良好な燃焼効率を示した。
- (3) 燃料噴射弁の軸方向位置がスワーラ内面に一致しているとき、噴霧周辺の空気流れの影響から、噴霧角の広がることが観察された。噴射弁先端をスワーラ内に3mm以上突出すると、噴霧角は静止空気中に噴射したときと同等になり、スワーラ盲リングや

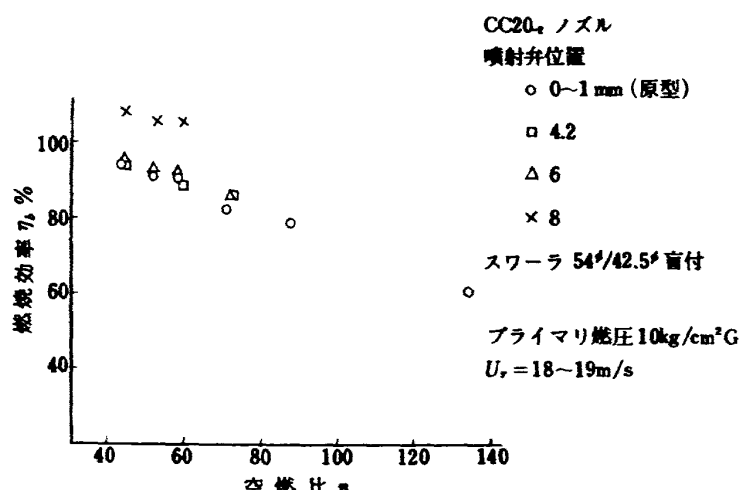


図 43 燃焼効率—燃料噴射弁軸方向位置の影響

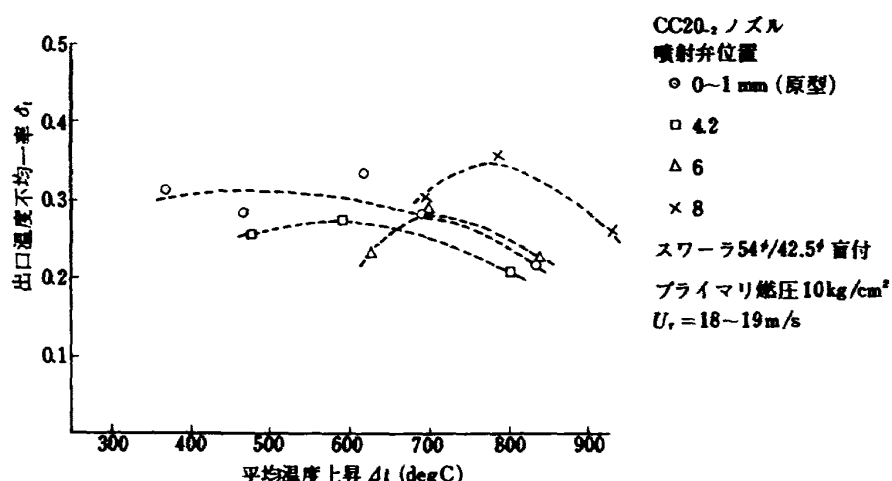


図 44 出口温度不均一率—燃料噴射弁軸方向位置をえた影響

スワーラ取付板が燃料でぬれることなく、炭素堆積防止に有効と推定された。

(4) 燃料噴射弁のプライマリノズルからガスを吹出させ、セコンダリノズルから燃料を噴射すると、ノズル孔から約20°の角度内では、燃料の微粒化が促進され、燃焼効率を改善させるが、噴霧全体にわたる微粒化をはからないと大幅な改善は得られない。

(5) 供試ライナの場合、スワーラの盲リング外径は、保炎テストからの従来の判断による最適値より、大きめのほうが良いようである。試験したいくつかのスワーラのうちでは、外径54mmφ、旋回角45°、盲リング径42.5mmφ、羽根板厚t=1mmのものが、もっとも適していた。

(6) ライナ第1列空気孔位置は、流れ模様の測定結果から、上流側すぎると判断され、第1列空気孔盲の状態を試験したが、性能向上は得られなかった。これから、第2列空気孔位置より上流側に最適位置があると推定された。

(7) ライナ第1列冷却スリット盲は、出口温度不均一率や燃焼効率改善に効果があった。しかし、ライナ冷却は行なう必要があり、冷却スリット位置およびスリット構造の選定には、充分な配慮が大切である。

文 献

- 1) 航技研限定配布資料として作成予定
- 2) 鈴木邦男、石井浅五郎；高圧燃焼器の研究(II)，航技研資料 TM-242 (1973-6)「配布先限定」
- 3) 大塚貞吉、鈴木邦男、相波哲朗、石井浅五郎、広瀬健樹；高負荷燃焼器の一次燃焼領域の研究，航技研報告 TR-143 (1967-10)
- 4) 鈴木邦男、石井浅五郎、斎藤 隆、山田秀志；高圧形セクタ燃焼器模型の実験(I)，航技研資料 TM-260 (1974-8)
- 5) 大塚貞吉、福田 広、相波哲朗；高負荷燃焼器の箱形模型による実験，航技研報告 TR-118 (1966-10)
- 6) 航技研資料として発表の予定

記 号

n : 空燃比 = W_a / W_f

P_i : 燃焼器入口空気全圧 Pa_{abs}

P : 燃料噴射圧力 Pa_{G}

添字 P : プライマリノズル

M : セコンダリノズル

t₁ : 燃焼器入口空気温度 °C

t : 燃焼器出口平均温度 °C

添字 i : 測定点, (t_{2i})_{max} : t_{2i} のうちの最高値

T_v/_{T₁} : 出口/入口温度比 °K/°K

W_a : 空気流量 kg/s

W_f : 燃料流量 kg/s

U_r : 最大断面平均風速 m/s

Δt : 平均温度上昇 = t₂ - t₁ degC

δ_t : 出口温度不均一率 = ((t_{2i})_{max} - t₂) / Δt

η_b : 燃焼効率 %

No.	P_i abs	W_i kg/s	U_i m/s	t_i °C	t_e °C	Δt deg C	δ_i	$T_{e/I}$	$\Delta P/P_i$ %/K	ϕ	η_i %	n	P, T, G		備 考
													P	M	
7500S	1.097	0.609	13.7	40	431	3.91	0.304	225	-	-	54.6	55.3	33	33	
7501S	1.127	0.605	13.4	43	801	75.8	0.150	340	-	-	92.3	46.5	48	48	
7502S	1.097	0.617	14.1	43	378	33.5	0.110	206	-	-	107.4	130.1	80	0	
7503S	1.104	0.610	13.8	43	491	44.8	0.098	242	-	-	107.2	952	13.9	0	
7504S	1.155	0.866	18.8	44	330	28.6	0.105	1.90	-	-	89.9	127.4	16.6	0	
7505S	1.143	0.880	19.3	44.5	152	107.5	0.307	13.4	-	-	25.7	95.2	25	25	
7506S	1.151	0.870	19.0	45	270	22.5	0.267	1.71	-	-	3.93	70.3	44	44	
7507S	1.192	0.870	18.4	45	630	58.5	0.137	284	-	-	854	56.7	6.8	6.8	
7508S	1.226	0.860	17.6	45	865	82.0	0.104	358	-	-	101.9	47.0	9.8	9.8	
7509S	1.066	0.392	13.8	200	517	31.7	0.104	16.7	-	-	101.2	124.2	3.4	0	
7510S	1.070	0.400	14.0	200	628	42.8	0.028	1.90	-	-	112.6	100.6	56	0	
7511S	1.074	0.388	13.5	200	713	51.5	0.092	20.8	-	-	100.5	74.1	9.8	0	
7512S	1.070	0.392	13.7	200	564	36.4	0.126	1.77	-	-	64.9	68.2	0.9	0.9	
7513S	1.081	0.403	14.0	200	761	56.1	0.087	2.19	-	-	85.2	56.9	1.4	1.4	
7514S	1.087	0.410	14.1	200	910	71.0	0.099	250	-	-	93.6	48.5	2.0	2.0	

No.	P_i abs	W_i kg/s	U_i m/s	t_i °C	t_e °C	Δt deg C	δ_i	$T_{e/I}$	$\Delta P/P_i$ %/K	ϕ	η_i %	n	P, T, G		備 考
													P	M	
7515S	1.208	0.883	17.7	34	739	70.5	0.228	350	-	-	92.8	50.7	0	16.6	
7516S	1.172	0.881	18.4	36	474	43.8	0.162	242	-	-	76.3	69.4	4.4	4.4	
7517S	1.202	0.880	18.1	38	684	64.6	0.195	308	-	-	93.5	56.1	68	68	
7518S	1.224	0.888	17.9	38	823	78.5	0.206	354	-	-	96.9	47.2	9.8	9.8	
7519S	1.250	0.971	19.2	39	754	71.5	0.218	329	-	-	88.6	47.6	0	20.2	
7520S	1.209	0.973	19.9	39	501	46.2	0.159	248	-	-	81.1	69.5	53	53	
7521S	1.240	0.972	19.4	39	695	65.6	0.206	31.0	-	-	96.2	56.8	8.1	8.1	
7522S	1.263	0.964	18.8	39	837	79.8	0.204	356	-	-	99.8	47.5	11.9	11.9	
7523S	1.131	0.571	19.3	21.0	895	68.5	0.095	242	-	-	94.1	50.5	0	6.8	
7524S	1.148	0.595	19.0	19.0	991	80.1	0.011	27.5	-	-	91.2	41.6	0	11.3	
7525S	1.116	0.571	19.2	20.0	716	51.6	0.085	20.9	-	-	92.0	67.8	1.8	1.8	
7526S	1.126	0.561	19.1	21.0	836	62.6	0.070	25.0	-	-	94.5	56.3	2.8	2.8	
7527S	1.133	0.570	18.8	20.0	938	73.8	0.084	25.6	-	-	97.0	84.3	4.1	4.1	

スワード : 56°/43°直付, CC10ノズル

No.	P _i	W _s kg/s	U _r m/s	t _i c	t _c	△t deg.C	δ deg.C	T/T _k	η _%	n	P/VG	M	備考
7528S	1.121	0.609	132	33	593	560	0.272	283	-	-	71.4	503	0 80
7529S	1.152	0.638	134	33	877	844	0.146	375	-	-	90.7	406	0 13.9
7530S	1.098	0.617	136	33	203	170	0.17	155	-	-	29.5	703	2.1 2.1
7531S	1.113	0.608	132	33	523	490	0.373	260	-	-	69.0	555	3.3 3.3
7532S	1.130	0.617	132	33	747	714	0.207	333	-	-	86.7	46.7	48 48
7533S	1202	0.879	17.7	33	659	626	0.529	305	-	-	82.9	514	0 166
7534S	1155	0.878	18.4	33	206	173	0.311	157	-	-	38.7	92.0	25 25
7535S	1.166	0.883	18.3	33	311	278	0.376	191	-	-	48.5	70.1	44 44
7536S	1.197	0.882	17.8	33	582	549	0.196	280	-	-	80.2	57.3	68 68
7537S	1223	0.882	17.5	33	805	772	0.188	352	-	-	97.3	482	98 98

スワード : 55°/43°直付, CC10ノズル

No.	P _i	W _s kg/s	U _r m/s	t _i c	t _c	△t deg.C	δ deg.C	T/T _k	η _%	n	P/VG	M	備考
7538S	1.094	0.631	1405	31	1098	788	0.256	126	-	-	34.7	182.9	0.7
7539S	1.094	0.623	1385	34	1257	897	0.182	129	-	-	30.9	141.9	1.2 1.2
7540S	1.099	0.625	1386	35	2227	1878	0.199	161	-	-	51.8	114.1	" 2.1
7541S	1.105	0.618	1382	39	3298	2908	0.551	193	-	-	55.7	78.2	" 3.3
7542S	1.108	0.614	1373	40	4097	3697	0.555	218	-	-	58.8	64.4	" 4.8
7543S	1.118	0.616	1366	40	5320	4920	0.423	257	-	-	66.6	54.0	" 7.0
7544S	1.139	0.619	1350	41	8144	7734	0.175	346	-	-	91.7	45.9	" 100
7545S	1.139	0.618	1348	41	7961	7551	0.270	340	-	-	892	45.8	0 100
7546S	1.126	0.618	1363	41	6372	5962	0.390	290	-	-	825	54.7	0 70
7547S	1.110	0.617	1386	42	4111	3691	0.566	217	-	-	59.7	65.4	0 48
7548S	1.150	0.868	19.0	45	1356	906	0.545	129	-	-	36.2	165.3	1.5
7549S	1.156	0.867	18.93	46	2050	1590	0.472	150	-	-	52.3	136.3	" 2.5
7550S	1.164	0.872	18.91	46	2707	2247	0.286	170	-	-	54.0	98.9	" 4.4
7551S	1.171	0.872	8.79	46	3335	2875	0.301	190	-	-	53.4	75.8	" 6.8
7552S	1.188	0.871	18.51	46	4981	4521	0.336	242	-	-	74.8	66.5	" 9.8
7553S	1208	0.866	18.10	46	6763	6303	0.236	298	-	-	88.4	55.2	" 13.0
7554S	1.224	0.866	17.87	46	7903	7443	0.188	333	-	-	98.0	51.2	" 16.0
7555S	1222	0.873	18.04	46	7602	7142	0.196	324	-	-	92.0	50.2	0 16.0
7556S	1207	0.870	18.20	46	6724	6264	0.236	296	-	-	89.8	56.5	0 13.0
7557S	1.192	0.872	18.47	46	529.6	483.6	0.259	252	-	-	79.2	65.6	0 9.8

No.	P_1 kg abs	W_a kg/s	U_r m/s	t_1 °C	t_2 °C	Δt deg C	δ	T/K	$\Delta P/P_1$	ϕ	η_b %	n	P_1 kg	M	備考	
7558S	1.091	0.629	1393	32	1298	97.8	0.411	132	-	-	-	-	-	-	0.7	
7559S	1.091	0.626	1395	34	1605	1265	0.391	141	-	-	-	-	398	1304	1.2	
7560S	1.095	0.619	1378	35	2539	2189	0.325	171	-	-	-	-	53.9	1016	2.1	
7561S	1.101	0.623	1389	37	3616	3426	0.319	205	-	-	-	-	69.4	87.4	3.3	
7562S	1.109	0.626	1394	39	4582	4192	0.314	234	-	-	-	-	69.7	67.1	4.8	
7563S	1.118	0.619	1372	40	6146	5746	0.262	284	-	-	-	-	788	545	7.0	
7564S	1.135	0.619	1351	40	8277	7877	0.212	352	-	-	-	-	94.1	462	10.0	
7565S	1.135	0.618	1349	40	8159	7759	0.186	348	-	-	-	-	932	465	10.0	
7566S	1.122	0.618	1365	40	6673	6273	0.243	300	-	-	-	-	87.1	547	7.0	
7567S	1.111	0.617	1376	40	5052	4652	0.268	249	-	-	-	-	357	654	0.48	
7568S	1.148	0.877	1900	41	1480	1070	0.393	134	-	-	-	-	43.9	1703	air 15	
7569S	1.156	0.873	1883	42	2343	1923	0.394	161	-	-	-	-	63.7	137.5	2.5	
7570S	1.167	0.876	1890	45	3268	2818	0.384	189	-	-	-	-	67.4	98.2	4.4	
7571S	1.177	0.875	1867	44	4052	3612	0.429	214	-	-	-	-	71.3	80.3	6.8	
7572S	1.190	0.874	1850	45	5320	4870	0.345	253	-	-	-	-	79.9	65.7	9.8	
7573S	1.206	0.874	1830	46	6595	6135	0.262	292	-	-	-	-	89.4	57.5	13.0	
7574S	1.222	0.871	1812	46	7977	7517	0.269	336	-	-	-	-	1020	528	16.0	
7575S	1.220	0.874	1814	47	7814	7344	0.216	329	-	-	-	-	98.6	52.5	16.0	
7576S	1.208	0.870	1824	47	7027	6551	0.240	305	-	-	-	-	94.3	56.5	13.0	
7577S	1.178	0.870	1871	47	4571	4101	0.373	228	-	-	-	-	67.1	65.9	0.98	

No	P_i abs	W_i kg/s	U_r m/s	t_i $^{\circ}\text{C}$	t_x $^{\circ}\text{C}$	Δt deg C	δ_r	$\frac{T_x}{T_i} \frac{\eta}{\eta_K}$	$\Delta P/R_i$	ϕ	η_b %	n	$P_{\text{R}/G}$ M	備 考	
7578S	1.093	0.627	138.4	32	102.5	7.05	0.191	1.23	-	-	-	-	-	LPガス	U
7579S	1.094	0.625	138.7	34	136.0	102.0	0.196	1.33	-	-	-	-	-	LPガス	1.2
7580S	1.103	0.629	139.0	35	245.1	21.01	0.252	1.68	-	-	-	-	-	LPガス	2.1
7581S	1.107	0.632	139.5	36	310.0	274.0	0.343	1.89	-	-	-	-	-	102.6	53
7582S	1.111	0.626	139.1	39	388.5	34.95	0.433	2.12	-	-	-	-	-	81.4	48
7583S	1.125	0.625	137.2	39	621.9	582.9	0.271	2.87	-	-	-	-	-	68.3	7.0
7584S	1.141	0.620	134.1	39	828.1	789.1	0.205	3.53	-	-	-	-	-	55.5	100
7585S	1.157	0.879	187.6	39	157.7	118.7	0.188	1.38	-	-	-	-	-	46.1	
7586S	1.162	0.878	187.1	40	225.5	185.5	0.402	1.59	-	-	-	-	-	173.0	1.5
7587S	1.171	0.883	186.6	40	274.3	234.3	0.515	1.75	-	-	-	-	-	129.7	2.5
7588S	1.040	0.885	186.4	40	294.1	254.1	0.240	1.81	-	-	-	-	-	92.0	44
7589S	1.182	0.877	183.7	40	507.7	467.7	0.219	2.49	-	-	-	-	-	79.7	68
7590S	1.218	0.876	17.82	40	703.4	663.4	0.236	3.12	-	-	-	-	-	67.5	98
7591S	1.230	0.881	17.74	40	788.8	748.8	0.215	3.39	-	-	-	-	-	58.1	150
									-	-	-	-	-	52.7	160
									-	-	-	-	-	101.3	

No	P_i abs	W_i kg/s	U_r m/s	t_i $^{\circ}\text{C}$	t_x $^{\circ}\text{C}$	Δt deg C	δ_r	$\frac{T_x}{T_i} \frac{\eta}{\eta_K}$	$\Delta P/R_i$	ϕ	η_b %	n	$P_{\text{R}/G}$ M	備 考	
7592S	1.136	0.887	18.9	33	175.2	142.2	0.526	1.47	-	-	-	-	-	141.1	15
7593S	1.136	0.879	19.0	37	179.5	142.5	0.600	1.46	-	-	-	-	-	114.2	25
7594S	1.153	0.875	18.7	39	327.7	288.7	0.545	1.93	-	-	-	-	-	59.0	44
7595S	1.187	0.873	18.2	40	61.95	57.95	0.346	2.85	-	-	-	-	-	97.9	68
7596S	1.208	0.871	18.0	42	804.8	762.8	0.217	3.42	-	-	-	-	-	105.9	98
7597S	1.226	0.874	17.8	43	893.9	850.9	0.125	5.69	-	-	-	-	-	104.3	130
7598S	1.128	0.613	13.6	44	885.7	84.17	0.136	5.66	-	-	-	-	-	98.8	7.0
7599S	1.115	0.613	13.8	44	769.6	725.6	0.290	3.29	-	-	-	-	-	98.6	48
7600S	1.105	0.615	14.0	45	622.1	577.1	0.343	2.81	-	-	-	-	-	92.9	33
7601S	1.085	0.615	14.3	45	258.6	213.6	0.334	1.67	-	-	-	-	-	42.9	21
7602S	1.077	0.615	14.4	45	159.8	114.8	0.873	1.36	-	-	-	-	-	28.5	12
7603S	1.085	0.614	14.2	45	289.6	244.6	0.247	1.77	-	-	-	-	-	76.5	0
									-	-	-	-	-	129.9	80

No.	P_i abs kg/cm ²	W_i kg/s	U_r m/s	t_1 °C	t_2 °C	Δt deg C	δ_i	T_{AT}/T_i °K/°K	$\Delta P/P_i$	ϕ	η_i %	n	$P_i/\eta_i G$		備考
													P	M	
スワーラー 55φ/42φ直付, CC20-1, ノズル															
7604S	1.161	0.902	188	32	2122	1802	0.043	1.590	-	-	-	78.7	1847	50	0
7605S	1.166	0.893	187	36	2524	2164	0.0428	1.700	-	-	-	68.8	1326	100	0
7606S	1.175	0.893	187	38	3100	2720	0.0368	1.874	-	-	-	74.5	1128	150	0
7607S	1.192	0.887	184	40	5346	4946	0.019	2.580	-	-	-	56.9	44.9	10	1.0
7608S	1.222	0.890	180	40	7825	7425	0.0293	3.371	-	-	-	77.7	39.6	1.3	1.3
スワーラー 55φ/40φ直付, CC20-1, ノズル															
7609S	1.156	0.879	191	38	2084	1704	0.0684	1.548	-	-	-	74.1	183.7	50	0
7610S	1.159	0.885	189	40	2357	1957	0.0431	1.625	-	-	-	62.0	1325	100	0
7611S	1.168	0.883	189	42	5171	2751	0.0429	1.874	-	-	-	73.9	1108	150	0
7612S	1.200	0.879	184	45	6702	6252	0.0528	2.965	-	-	-	65.0	39.7	13	1.3
7613S	1.182	0.876	187	45	4928	4478	0.0753	2.407	-	-	-	51.8	45.3	1.0	1.0

No.	P_i abs kg/cm ²	W_i kg/s	U_r m/s	t_1 °C	t_2 °C	Δt deg C	δ_i	T_{AT}/T_i °K/°K	$\Delta P/P_i$	ϕ	η_i %	n	$P_i/\eta_i G$		備考
													P	M	
スワーラー 55φ/43φ直付, CC20-1, ノズル															
7614S	1.172	0.871	186	44	5230	4790	0.078	2.510	-	-	-	90.9	75.9	100	0.2
7615S	1.188	0.870	185	46	6777	6317	0.0584	2.979	-	-	-	99.1	61.2	100	0.3
7616S	1.194	0.867	183	46	7352	6892	0.0326	3.159	-	-	-	101.4	56.9	100	0.4
7617S	1.206	0.863	181	46	8480	8020	0.0190	5513	-	-	-	106.7	50.6	100	0.5
7618S	1.151	0.862	190	47	2868	2398	0.0347	1.749	-	-	-	74.5	129.0	100	0
7619S	1.156	0.861	189	47	3675	3205	0.0382	2.001	-	-	-	84.6	108.3	150	0
7620S	1.146	0.860	190	47	2573	1903	0.0513	1.595	-	-	-	78.4	1733	50	0
7621S	1.160	0.860	190	51	3923	3413	0.0711	2.054	-	-	-	70.5	83.8	50	0.2
7622S	1.175	0.864	189	51	5359	4849	0.0514	2.497	-	-	-	81.6	66.8	50	0.3
7623S	1.181	0.864	188	51	6340	5830	0.0422	2.799	-	-	-	90.8	61.0	50	0.4
7624S	1.188	0.859	185	51	6977	6467	0.0421	2.997	-	-	-	92.3	55.3	50	0.5
7625S	1.196	0.864	185	51.5	7663	7148	0.0327	3.201	-	-	-	93.7	50.2	50	0.6
7626S	1.146	0.859	193	52	2343	1823	1.101	1.562	-	-	-	42.7	96.6	20	0.2
7627S	1.156	0.859	191	52	3411	2891	0.0826	1.890	-	-	-	54.5	76.2	20	0.3
7628S	1.162	0.860	190	52	4125	3605	0.0631	2.110	-	-	-	58.9	65.5	20	0.4
7629S	1.165	0.863	191	52	4615	4095	0.0558	2.259	-	-	-	60.3	58.5	20	0.5
7630S	1.179	0.859	187	51.5	5995	5480	0.0658	2.688	-	-	-	70.5	50.1	30	0.7

No.	P_i kg abs	W_e kg/s	U_r m/s	t_1	t_2	Δt deg C	δ	T_2/T_1 K/K	η_e %	n	スワード 54φ/42.5φ直付 CC20-2 / ズル		備考	
											$\Delta P/P_i$	ϕ	$P_{\text{V.G}}$ W	M
7631S	1144	0878	1907	41	2546	0350	1.68	-	-	653	127.4	10	0	02
7632S	1163	0867	1870	44	4882	0387	240	-	-	835	754	10	0	03
7633S	1169	0861	1851	45	587.9	0317	271	-	-	89.0	647	10	0	05
7634S	1194	0864	1826	46	798.9	0148	336	-	-	102.7	522	10	0	02
7635S	1140	0862	1915	47	2425	1955	0294	1.61	-	77.9	167.4	5	0	03
7636S	1144	0854	1895	48	3357	287.7	0223	1.90	-	664	945	5	0	02
7637S	1159	0856	1875	48	471.1	4231	0257	232	-	750	71.0	5	0	03
7638S	1167	0860	1872	48	524.1	476.1	0285	248	-	76.1	634	5	0	04
7639S	1179	0854	1839	48	6907	6427	0326	300	-	842	50.6	5	0	04
7640S	1165	0860	1897	48	3620	3140	0232	1.98	-	79.7	104.1	1.5	0	03
7641S	1183	0855	1858	48	5800	5320	0188	266	-	962	71.7	1.5	0	02
7642S	1203	0855	1809	49	7590	7100	0156	320	-	1046	568	1.5	0	03
7643S	1210	0854	1823	50	8050	7530	0195	333	-	1047	532	1.5	0	04
7644S	1153	0878	1885	40	237.9	197.9	0415	1.63	-	856	1824	5	0	02
7645S	1160	0866	1878	45	3352	2902	0378	1.91	-	59.5	837	5	0	03
7646S	1173	0863	1856	46	4558	4098	0376	228	-	70.1	68.6	5	0	04
7647S	1179	0864	1850	46	5110	4650	0363	246	-	72.9	62.3	5	0	05
7648S	1179	0853	1831	47	6617	6147	0452	292	-	79.7	50.2	5	0	02
7649S	1144	0856	1907	49	2671	2181	0334	1.68	-	65.0	123.7	10	0	03
7650S	1161	0848	1865	50	4640	4140	0425	228	-	79.9	77.6	10	0	02
7651S	1176	0855	1857	50	6325	5825	0245	280	-	92.6	62.3	10	0	03
7652S	1197	0850	1814	50	795.4	7454	0194	331	-	95.5	48.9	10	0	05
7653S	1152	0854	1894	50	3465	2965	0214	1.92	-	755	104.4	15	0	02
7654S	1168	0853	1871	51	5412	4902	0232	251	-	93.7	76.2	15	0	03
7655S	1194	0852	1829	51	7665	7155	0173	321	-	102.3	55.0	15	0	04
7656S	1201	0854	1827	52	8229	7709	0165	375	-	103.9	51.4	15	0	04

No.	P_i kg/s	W_e kg/s	U_r m/s	t_i °C	t_s °C	Δt deg C	δ_1	T_e °K	スワード 56φ/42.5φ直付 CC20-2ノズル			P/MG P M	備考
									ΔP_R	ϕ	η_e		
7657S	1.146	0.872	191.8	455	194.8	149.3	0.02	147	-	-	629	1782	5 0.02
7658S	1.171	0.862	187.5	485	447.3	398.8	0.08	224	-	-	693	697	5 0.03
7659S	1.176	0.866	188.3	50	487.7	437.7	0.279	235	-	-	71.8	654	5 0.04
7660S	1.180	0.858	186.5	51	566.7	515.7	0.356	259	-	-	72.5	552	5 0.05
7661S	1.185	0.859	186.0	51.2	616.9	565.7	0.394	274	-	-	74.4	51.2	5 0.06
7662S	1.154	0.857	191.0	52	270.0	218.0	0.275	167	-	-	657	1252	10 0.02
7663S	1.186	0.851	185.4	53.5	64.12	58.77	0.236	280	-	-	88.6	58.9	10 0.02
7664S	1.198	0.895	193.0	53.5	69.98	64.63	0.201	298	-	-	91.2	54.6	10 0.03
7665S	1.208	0.855	183.5	54.7	82.00	76.53	0.196	333	-	-	96.7	48.0	10 0.05
7666S	1.161	0.857	192.2	56	34.54	28.94	0.327	188	-	-	73.7	1045	15 0 0.05
7667S	1.200	0.850	184.5	56.7	75.56	69.89	0.228	312	-	-	101.4	55.9	15 0.02
7668S	1.211	0.856	184.7	57	83.56	77.86	0.211	336	-	-	104.0	50.8	15 0.03
7669S	1.221	0.858	183.7	57.3	89.04	83.31	0.132	352	-	-	1054	47.7	15 0.04

No.	P_i kg/s	W_e kg/s	U_r m/s	t_i °C	t_s °C	Δt deg C	δ_1	T_e °K	スワード 55φ/43φ直付 CC20-2ノズル			P/MG P M	備考
									ΔP_R	ϕ	η_e		
7670S	1.140	0.860	191.0	47	249.0	202.0	0.352	163	-	-	832	173.0	50 0.02
7671S	1.163	0.853	188.7	52	504.5	452.5	0.476	239	-	-	74.4	65.4	50 0.03
7672S	1.170	0.849	187.3	53	577.3	524.3	0.368	261	-	-	77.8	58.3	50 0.04
7673S	1.176	0.847	186.9	55	64.32	58.82	0.352	279	-	-	81.6	54.0	50 0.05
7674S	1.187	0.846	186.0	57	75.13	69.43	0.286	310	-	-	86.8	47.8	50 0.06
7675S	1.146	0.844	192.8	58	298.2	24.02	0.299	173	-	-	70.4	12.12	100 0.02
7676S	1.178	0.844	187.7	58	64.53	58.83	0.261	278	-	-	91.2	60.6	100 0.03
7677S	1.189	0.843	185.9	58	74.11	68.31	0.203	306	-	-	95.0	53.5	100 0.05
7678S	1.206	0.841	182.7	58	89.45	85.65	0.126	353	-	-	108.0	46.4	100 0.05
7679S	1.153	0.841	191.0	58	381.6	32.36	0.335	198	-	-	82.1	1.036	150 0 0.02
7680S	1.197	0.845	185.1	58	80.38	74.58	0.210	325	-	-	106.0	54.4	150 0.02
7681S	1.204	0.845	184.4	59	87.09	81.19	0.159	344	-	-	108.1	50.4	150 0.03
7682S	1.208	0.840	182.8	59	91.04	85.14	0.105	356	-	-	106.7	47.1	150 0.04

No.	P_{abs}	W_s	K_g/s	U_r m/s	t_1 $^{\circ}\text{C}$	t_2 $^{\circ}\text{C}$	Δt deg C	スワード 55°/45°直付, CC20-2, ノズル			n $\eta\%$	$P_{\text{吸}}$ kg	備考
								δ_i	T_e/T_K	$\Delta P_{\text{R}}/P_K$	ϕ		
7683S	1.144	0.865	18.96	4.4	247.9	203.9	0.403	1.64	-	825	1700	5	0
7684S	1.154	0.859	18.78	4.6	350.7	304.7	0.392	1.96	-	67.5	902	5	0.1
7685S	1.166	0.855	18.57	4.7	493.2	446.2	0.486	2.39	-	72.9	65.1	5	0.2
7686S	1.173	0.859	18.81	5.2	552.9	500.9	0.453	2.54	-	76.4	60.2	5	0.3
7687S	1.179	0.853	18.59	5.2	59.91	54.71	0.404	2.68	-	77.0	51.5	5	0.4
* 7688S	1.199	0.851	18.25	5.2	808.9	756.9	(0.252)	3.33	-	87.3	43.7	5	0.6
													* t_{21} の 1 点が $> 1000^{\circ}\text{C}$
7689S	1.149	0.851	190.6	52.5	289.3	236.8	0.320	1.57	-	70.3	123.0	10	0
7690S	1.164	0.851	188.4	53	496.3	443.3	0.426	2.36	-	83.1	75.0	10	0.1
7691S	1.178	0.849	186.4	54	625.0	571.0	0.263	2.75	-	88.9	61.0	10	0.2
7692S	1.191	0.849	186.4	55	729.8	674.8	0.186	3.06	-	95.3	54.5	10	0.3
													* * t_{21} の 9 点が $> 1000^{\circ}\text{C}$
* 7693S	1.207	0.849	183.0	56	870.9	814.9	(0.158)	3.48	-	101.9	47.2	10	0.5
7694S	1.155	0.848	191.5	57	367.0	310.0	0.332	1.94	-	78.8	104.0	15	0
7695S	1.168	0.848	189.4	57	515.8	456.8	0.342	2.38	-	91.3	80.0	15	0.1
7696S	1.194	0.848	185.4	57	763.6	706.6	0.221	3.14	-	102.5	55.8	15	0.2
** 7697S	1.216	0.848	182.0	57	935.9	878.9	(0.073)	3.66	-	107.3	45.7	15	0.4

No.	P_1 kPa abs	W. kg/s	U_r m/s	t_1 °C	t_2 °C	Δt deg C	δ_i	T_2/K	$\Delta P/R_1$	ϕ	η_b %	n	$P_{V/G}$		備考
													P	M	
7698S	1.146	0.873	1887	40	2373	1973	0.267	1.63	-	-	817	1743	5	0	再現性チェック
7699S	1.162	0.865	1848	41	4218	3808	0.468	2.21	-	-	707	749	5	0.1	
7700S	1.172	0.868	1846	42	5038	4618	0.273	2.47	-	-	750	647	5	0.2	
7701S	1.172	0.862	1838	43	5327	4897	0.260	2.55	-	-	762	617	5	0.3	
7702S	1.182	0.862	1828	44	6145	5705	0.202	2.80	-	-	786	538	5	0.4	
7703S	1.197	0.861	1808	45	7729	7279	0.312	529	-	-	868	455	5	0.6	
7704S	1.146	0.861	1889	45	2582	2132	0.173	1.67	-	-	635	1240	10	0	
7705S	1.169	0.861	1853	45	5000	4550	0.220	2.29	-	-	828	728	10	0.1	
7706S	1.184	0.861	1829	45	6457	6007	0.207	2.89	-	-	948	574	10	0.2	
7707S	1.192	0.861	1816	45	7363	6913	0.164	3.17	-	-	996	557	10	0.5	
7708S	1.206	0.861	1796	45	8386	7936	0.178	3.49	-	-	1029	493	10	0.5	
7709S	1.155	0.861	1874	45	3546	3096	0.244	1.97	-	-	785	1040	15	0	
7710S	1.178	0.861	1838	45	5993	5543	0.182	2.74	-	-	966	689	15	0.1	
7711S	1.192	0.861	1817	45	7163	6713	0.162	3.11	-	-	1022	591	15	0.2	
7712S	1.203	0.861	1801	45	8400	7950	0.138	3.56	-	-	1091	523	15	0.3	
*7713S	1.213	0.861	1786	45	9114	8664	(0.102)	572	-	-	109.7	47.7	15	0.4	* $(t_{21})_{max} > 1000^{\circ}\text{C}$

No.	P _i abs	W _s kg/s	U _r m/s	t ₁ ℃	t ₂ ℃	Δt deg C	θ deg C	T _K / T _C	ΔP/P _i	φ	η _b %	n	P _i V _G M	備 考
7714S	1.152	0.879	185	34	1743	1403	0254	1.457	-	-	454	1702	50	0
7715S	1.153	0.877	186	36	2630	2270	0449	1.734	-	-	47.3	856	50	0.1
7716S	1.159	0.877	185	36	3153	2793	0518	1.903	-	-	47.9	69.7	50	0.2
7717S	1.164	0.876	184	36	3665	3305	0480	2069	-	-	48.6	59.1	50	0.3
7718S	1.171	0.875	183	37	4334	3964	0446	2278	-	-	51.6	51.7	50	0.4
7719S	1.176	0.875	183	37	4884	4514	0391	2455	-	-	53.7	46.7	50	0.6
7720S	1.148	0.875	187	37	2155	1785	0361	1.575	-	-	53.4	125.1	100	0
7721S	1.169	0.875	184	37	4136	3766	0495	2214	-	-	66.0	70.7	100	0.1
7722S	1.182	0.874	182	38	5419	5039	0423	2619	-	-	76.2	59.9	100	0.2
7723S	1.192	0.874	181	38	6229	5849	0563	2879	-	-	78.9	52.7	100	0.3
7724S	1.204	0.874	17.9	38	7293	6913	0276	3221	-	-	83.2	4.62	100	0.5
7725S	1.157	0.874	18.6	38	3019	2639	0410	1.848	-	-	66.5	1040	150	0
7726S	1.178	0.874	183	38	5137	4757	0455	2529	-	-	81.2	68.1	150	0.1
7727S	1.195	0.874	180	38	6573	6193	0343	2990	-	-	90.4	57.0	150	0.2
7728S	1.206	0.874	17.8	38	7531	7151	0503	3298	-	-	93.2	50.1	150	0.3
* 7729S	1.214	0.874	17.7	38	8097	7717	0247	3480	-	-	94.1	46.4	150	0.4

No.	P _i abs	W _s kg/s	U _r m/s	t ₁ ℃	t ₂ ℃	Δt deg C	θ deg C	T _K / T _C	ΔP/P _i	φ	η _b %	n	P _i V _G M	備 考
7887S	1.226	0.888	17.52	33.0	9268	8938	0252	3.92	-	-	1057	44.4	15	0.4
7888S	1.218	0.882	17.59	34.0	8620	8280	0269	3.70	-	-	1047	48.0	15	0.3
7889S	1.206	0.879	17.81	36.0	7536	7176	0317	3.32	-	-	99.7	53.6	15	0.2
7890S	1.218	0.876	17.63	37.0	8579	8209	0299	3.65	-	-	92.7	42.6	10	0.5
7891S	1.202	0.876	17.93	38.0	7121	6741	0313	3.17	-	-	86.5	49.5	10	0.3
7892S	1.191	0.872	18.04	38.5	6334	5949	0356	2.91	-	-	84.5	55.5	10	0.2
7893S	1.197	0.873	18.00	39.0	6830	6440	0491	3.06	-	-	71.6	42.7	5	0.6
7894S	1.185	0.873	18.24	40.0	5723	5323	0544	2.70	-	-	66.5	48.8	5	0.4
7895S	1.180	0.873	18.51	40.0	5240	4840	0502	2.55	-	-	65.8	53.6	5	0.3

No.	P _i	W _r kg/s	U _r m/s	スクーター 52φ/41φ直付, CC20-2, ノズル									
				t _i °C	t _c °C	△t _c deg C	δ _c	T _c /T _k	η _s %	n	P _{MG} M	P _M	備考
7908S	1.209	0.884	17.7	34	75.48	72.08	0.239	3.35	-	81.6	43.2	5	0.6
7909S	1.198	0.878	18.0	37.5	66.82	65.07	0.580	3.03	-	80.5	49.5	5	0.4
7910S	1.236	0.880	17.6	40	93.80	89.80	0.224	3.87	-	10.53	43.0	1.0	0.5
7911S	1.215	0.878	17.9	41.5	76.09	71.94	0.391	3.29	-	9.39	50.1	1.0	0.3
7912S	1.240	0.876	17.6	42	95.86	91.66	0.183	3.91	-	10.68	43.5	1.5	0.4
7913S	1.232	0.875	17.7	43.5	88.97	84.62	0.168	3.67	-	10.52	46.9	1.5	0.3
7914S	1.218	0.869	17.9	44.5	81.49	77.04	0.248	3.43	-	10.54	52.3	1.5	0.2
7915S	1.158	0.887	18.7	36	21.10	17.50	0.326	1.57	-	72.7	17.55	5	0.9?
7916S	1.161	0.878	18.65	39	25.28	21.38	0.268	1.68	-	6.63	12.93	5	0.7?
7917S	1.167	0.879	18.71	41.5	28.80	24.65	0.329	1.78	-	6.54	10.97	5	0.1?
7918S	1.171	0.876	18.68	42.5	33.28	29.03	0.400	1.92	-	6.49	9.16	5	0.1
7919S	1.184	0.874	18.48	43.5	46.59	42.24	0.471	2.33	-	7.05	6.68	5	0.2
7920S	1.194	0.874	18.35	44	55.76	51.36	0.456	2.62	-	7.48	5.74	5	0.3
7921S	1.162	0.872	18.91	45.5	24.13	19.78	0.433	1.61	-	6.10	13.00	10	0
7922S	1.170	0.873	18.83	46	30.71	26.11	0.421	1.82	-	7.20	11.39	10	0.7?
7923S	1.176	0.873	18.80	47	37.54	32.84	0.501	2.03	-	7.54	9.37	10	0.7?
7924S	1.184	0.871	18.64	47.5	45.18	40.43	0.470	2.26	-	8.05	8.03	10	0.1
7925S	1.205	0.871	18.35	48	63.86	59.06	0.551	2.84	-	88.9	58.9	10	0.2
7926S	1.171	0.871	18.89	48	33.79	28.99	0.521	1.90	-	7.71	10.94	15	0
7927S	1.190	0.872	18.61	48	50.83	46.03	0.503	2.43	-	8.95	7.79	15	0.7?
7928S	1.195	0.872	18.53	48	58.44	53.64	0.510	2.67	-	9.39	6.93	15	0.7?
7929S	1.206	0.873	18.37	48	68.11	63.51	0.459	2.97	-	9.73	5.99	15	0.1

No.	P_i kabs	W_i kg/s	U_r m/s	t_1 °C	t_2 °C	Δt deg C	δ_i	T_e / T_K	η_e %	スワード 5.2φ/3.9.5φ直付 CC20-3 / ZJ			備 考	
										$\Delta P/P_i$	ϕ	n	P_{VAC}	M
7951S	1.230	0.868	17.67	435	947.9	904.4	0.09	387	-	-	105.3	4.35	15	0.4
7952S	1.224	0.872	17.86	44	871.2	827.2	0.21	361	-	-	103.2	47.2	15	0.3
7953S	1.215	0.871	18.04	45	794.9	749.9	0.31	357	-	-	101.8	52.0	15	0.2
7954S	1.197	0.867	18.28	46	655.2	609.2	0.08	291	-	-	95.5	61.3	15	0.1
7955S	1.189	0.869	18.48	46.5	582.3	535.8	0.475	268	-	-	91.3	67.4	15	0?
7956S	1.181	0.868	18.59	46.5	507.5	461.0	0.09	244	-	-	90.2	78.4	15	0?
7957S	1.160	0.868	18.91	46.5	295.9	249.4	0.18	17.8	-	-	66.6	110.3	15	0
7958S	1.228	0.869	17.88	46.5	911.7	865.2	0.266	371	-	-	98.2	42.5	10	0.5
7959S	1.212	0.868	18.13	47	776.0	729.0	0.385	328	-	-	94.3	49.5	10	0.3
7960S	1.200	0.868	18.34	47.5	688.1	640.6	0.493	300	-	-	92.1	55.8	10	0.2
7961S	1.186	0.863	18.47	48	586.4	538.4	0.51	268	-	-	87.6	64.2	10	0.1
7962S	1.182	0.868	18.65	48	512.7	464.7	0.541	245	-	-	82.1	70.5	10	0?
7963S	1.173	0.868	18.79	48	434.0	386.0	0.08	220	-	-	74.6	78.0	10	0?
7964S	1.152	0.866	19.08	48	225.5	175.3	0.325	15.5	-	-	54.7	130.4	10	0
7965S	1.208	0.863	18.15	48	757.7	709.7	0.448	321	-	-	81.1	43.5	5	0.6
7966S	1.194	0.865	18.39	48	631.6	583.6	0.528	282	-	-	75.2	50.0	5	0.4
7967S	1.188	0.865	18.49	48	567.1	519.1	0.587	262	-	-	73.5	55.7	5	0.3
7968S	1.177	0.863	18.62	48	501.9	453.9	0.652	241	-	-	73.3	64.3	5	0.2
7969S	1.168	0.865	18.80	48	403.1	355.1	0.66	21.1	-	-	68.5	78.1	5	0.1
7970S	1.162	0.863	18.87	48	342.1	294.1	0.01	19.2	-	-	67.2	93.5	5	0?
7971S	1.158	0.864	18.94	48	300.8	252.8	0.452	17.9	-	-	69.1	112.9	5	0?
7972S	1.151	0.864	19.06	48	226.4	178.4	0.413	15.6	-	-	72.9	171.9	5	0

No.	P_i	η_{abs}	W_s Kg/s	U_r m/s	t_1 $^{\circ}C$	t_2 $^{\circ}C$	Δt deg C	δ_i	T_b/T_1 K/K	スワーラー 52φ/325φ直付 CC20mm 分流板入口幅 3.8mm と広げ					
										$\Delta P/P_i$	ϕ	η_e %	n	P_t kg/s	M
7973S	1.168	0.893	1852	33	3174	2844	0.726	1.93	-	-	-	652	942	5	0.05
7974S	1.176	0.888	1845	36	4051	3691	0.704	2.19	-	-	-	702	77.0	5	0.1
7975S	1.185	0.884	1853	38	4950	4570	0.711	2.47	-	-	-	705	61.5	5	0.2
7976S	1.195	0.882	1826	40	5913	5513	0.622	2.76	-	-	-	77.3	55.0	5	0.3
7977S	1.206	0.879	1810	41	6656	6246	0.574	2.99	-	-	-	80.1	49.7	5	0.4
7978S	1.219	0.877	17.98	43	7761	7331	0.491	3.52	-	-	-	83.6	43.4	5	0.6
7979S	1.165	0.875	1884	44	2545	2105	0.387	1.66	-	-	-	68.5	13.59	10	0
7980S	1.184	0.874	1854	44.5	4526	4081	0.552	2.28	-	-	-	82.4	8.15	10	0.05
7981S	1.194	0.873	1840	45	5659	5209	0.534	2.64	-	-	-	88.9	67.6	10	0.1
7982S	1.210	0.873	1821	46	7075	6615	0.456	3.07	-	-	-	95.1	55.7	10	0.2
7983S	1.221	0.872	1802	46	7982	7522	0.367	3.56	-	-	-	98.1	49.8	10	0.3
7984S	1.237	0.871	17.82	47	9246	8776	0.249	3.74	-	-	-	100.9	43.0	10	0.5
7985S	1.169	0.871	1885	47	3026	2556	0.412	1.80	-	-	-	67.7	10.94	15	0
7986S	1.192	0.868	1843	47	5329	4859	0.550	2.52	-	-	-	86.1	7.05	15	0.05
7987S	1.204	0.866	1820	47	667.3	6203	0.417	2.94	-	-	-	95.8	60.3	15	0.1
7988S	1.221	0.870	1805	47	7947	7477	0.359	3.54	-	-	-	102.5	52.5	15	0.2
7989S	1.232	0.867	17.82	47	8827	8357	0.305	3.61	-	-	-	102.1	46.1	15	0.3
7990S	1.241	0.865	17.66	47	9609	9139	0.242	3.15	-	-	-	106.8	43.6	15	0.4

No	P_i	$\frac{W_i}{Kg/s}$	U_r	t_i	t_z	Δt deg C	δ_i	$\frac{T_i}{T_K}$	ϕ	η_i %	n	$P_i \frac{kg}{sG}$
7991S	1.166	0.877	18.98	4.6	3001	254.1	0.519	1.80	-	620	1000	5 0.05
7992S	1.171	0.871	18.84	4.7	3583	311.3	0.500	1.97	-	593	77.3	5 0.1
7993S	1.183	0.872	18.66	4.7	473.1	426.1	0.536	2.33	-	68.1	63.7	5 0.2
7994S	1.195	0.874	18.50	4.7	5635	516.5	0.503	2.61	-	726	552	5 0.3
7995S	1.207	0.874	18.38	4.8	6706	622.6	0.507	2.94	-	806	50.1	5 0.4
7996S	1.219	0.869	18.08	4.8	7813	7353	0.285	3.28	-	829	42.9	5 0.6
7997S	1.160	0.874	19.13	4.8	2393	191.3	0.255	1.60	-	61.7	13.47	10 0
7998S	1.177	0.873	18.82	4.8	4150	367.0	0.513	2.14	-	785	86.7	10 0.05
7999S	1.190	0.873	18.62	4.8	5130	465.0	0.282	2.45	-	824	70.7	10 0.1
8000S	1.206	0.873	18.58	4.8	6637	615.7	0.552	2.92	-	905	57.3	10 0.2
8001S	1.214	0.870	18.19	4.8	7381	690.1	0.278	3.15	-	913	50.9	10 0.3
8002S	1.233	0.868	17.87	4.8	8809	832.9	0.215	3.59	-	94.7	42.7	10 0.5
8003S	1.169	0.873	18.96	4.8	3127	264.7	0.164	1.82	-	723	112.7	15 0
8004S	1.188	0.873	18.65	4.8	4971	449.1	0.229	2.40	-	863	77.0	15 0.05
8005S	1.199	0.873	18.54	4.9	6092	56.02	0.176	2.74	-	917	64.4	15 0.1
8006S	1.218	0.868	18.14	4.9	7611	712.1	0.209	3.21	-	989	53.4	15 0.2
8007S	1.230	0.873	18.08	4.9	8524	803.4	0.189	3.49	-	1011	47.7	15 0.3
8008S	1.240	0.873	17.94	4.9	9290	880.0	0.194	3.73	-	1025	43.6	15 0.4
8009S	1.252	0.870	17.71	4.9	10224	973.4	0.168	4.20	-	1043	39.5	15 0.5

No	P_i	$\frac{W_i}{Kg/s}$	U_r	t_i	t_z	Δt deg C	δ_i	$\frac{T_i}{T_K}$	ϕ	η_i %	n	$P_i \frac{kg}{sG}$
8010S	1.204	0.886	17.81	33	8150	782.0	0.211	3.55	-	926	45.0	5 0.6
8011S	1.196	0.882	18.04	36	7305	694.5	0.556	3.25	-	918	51.0	5 0.4
8012S	1.190	0.883	18.19	37	679.1	642.1	0.560	3.07	-	962	58.4	5 0.3
8013S	1.223	0.882	17.75	38	9625	924.5	0.257	3.97	-	1084	43.8	10 0.5
8014S	1.207	0.881	17.96	38	8220	784.0	0.355	3.52	-	1059	51.6	10 0.3
8015S	1.196	0.881	18.22	39.5	7354	695.9	0.300	3.23	-	1056	58.8	10 0.2
8016S	1.223	0.880	17.82	40	957.9	917.9	0.246	3.93	-	109.9	44.8	15 0.4
8017S	1.213	0.878	17.91	40	891.3	851.3	0.245	3.72	-	111.8	49.7	15 0.3
8018S	1.202	0.877	18.12	41	8156	774.6	0.225	3.47	-	1114	55.1	15 0.2

スワーラー 54φ/42.5φ直付, CO20-2ノズル, 分流板入口幅3.8mmと広げ, 噴射弁相対位置42度											
No.	P _i kPa _{abs}	W _s kg/s	U _r m/s	t ₁ °C	t ₂ °C	Δt deg C	δ _t °K	T ₁ / °K	φ	η _%	n
8019S	1214	0.901	17.68	28	65.80	63.00	0.395	309	-	73.8	45.3
8020S	1200	0.897	17.91	30	55.11	52.11	0.330	272	-	69.4	52.4
8021S	1139	0.900	18.14	31	49.48	46.38	0.532	253	-	67.7	58.0
8022S	1231	0.894	17.57	33	83.30	80.00	0.206	361	-	94.1	44.6
8023S	1203	0.892	18.02	34	62.36	58.96	0.272	292	-	88.8	59.1
8024S	1188	0.892	18.23	34	50.97	47.57	0.257	255	-	86.1	72.4
8025S	1239	0.892	17.47	34	92.38	88.98	0.224	390	-	106.6	45.0
8026S	1226	0.889	17.67	35	84.11	80.61	0.232	362	-	106.8	50.5
8027S	1215	0.889	17.83	35	75.20	71.70	0.232	333	-	102.7	55.3

スワーラー 54φ/42.5φ直付, CO20-2ノズル, 分流板入口幅3.8mmと広げ, 噴射弁相対位置6度											
No.	P _i kPa _{abs}	W _s kg/s	U _r m/s	t ₁ °C	t ₂ °C	Δt deg C	δ _t °K	T ₁ / °K	φ	η _%	n
8028S	1210	0.887	17.80	34	69.22	65.82	0.364	314	-	78.4	45.9
8029S	1195	0.884	18.02	35	58.17	54.67	0.407	277	-	74.5	53.5
8030S	1188	0.881	18.13	36	50.74	47.14	0.409	253	-	70.8	59.6
8031S	1230	0.880	17.60	38	87.37	83.57	0.223	369	-	96.0	43.3
8032S	1213	0.880	17.84	38	75.60	69.80	0.289	324	-	92.4	51.0
8033S	1202	0.879	17.99	38	66.57	62.77	0.250	302	-	92.2	57.3
8034S	1234	0.878	17.56	39	91.10	87.20	0.217	37.9	-	101.7	43.8
8035S	1224	0.878	17.71	39	86.80	82.90	0.186	36.6	-	103.8	47.4
8036S	1214	0.878	17.85	39	78.62	74.72	0.176	33.9	-	103.5	53.2
8037S	1180	0.878	18.57	39	45.08	41.18	0.304	232	-	73.0	71.3

航空宇宙技術研究所資料 265号

昭和 49 年 10 月 発行

発行所 航空宇宙技術研究所
東京都調布市深大寺町 1880

電話武藏野三鷹(0422)47-5911(大代表) 182

印刷所 株式会社 東京プレス
東京都板橋区桜川 2~27~12

Printed in Japan

This document is provided by JAXA.